



## زمین دما- فشارسنجدی توده نفوذی تکیه (جنوب قروه، استان کردستان): تاكید ويزه بر كاربرد شيمى كانى آمفيبول

سيده اعظم موسوى، اشرف ترکيان\*

گروه زمین‌شناسی، دانشکده علوم پایه، دانشگاه بوعلی سینا، همدان، ایران

(دریافت مقاله: ۹۹/۱۲/۵، نسخه نهایی: ۱۴۰۰/۳/۵)

چکیده: توده نفوذی تکیه در جنوب قروه و در شمال پهنه سنندج- سیرجان قرار دارد. در این توده، برونبوهمهای سنگ میزبان گرانیتی ترکیب دیوریت و برونبوهمهای سنگ میزبان مونزونیتی ترکیب گابروی دارند. برونبوهمهای با شکل‌های گردشده و بیضوی در سنگ‌های میزبان پراکنده هستند، آنها اغلب تماس ناگهانی با سنگ میزبان داشته و از مجموعه کانی‌های آذرین تشکیل شده‌اند. آمفیبول‌ها در هر دو گروه سنگی از نوع کلسیمی بوده و دارای ترکیب منیزیوهومنبلند و اکتینولیت هستند. پلازیوکلازهای سنگ میزبان و برونبوهمهای به ترتیب در گستره ترکیبی الیگوکلاز تا آندزین و الیگوکلاز تا بیتونیت قرار می‌گیرند. بر پایه بررسی‌های زمین دما- فشارسنجدی بر بلورهای آمفیبول و نیز زوج کانی‌های آمفیبول- پلازیوکلاز، برای سنگ میزبان و برونبوهمهای دیوریتی توده به ترتیب دماهای تقریبی ۶۶۰-۵۵۴ و ۵۹۲-۷۴۲ درجه سانتیگراد به دست آمد. فشار نیز برای نمونه‌های سنگی میزبان و برونبوهمهای دیوریتی این توده نفوذی به ترتیب در گستره ۰/۳ تا ۰/۳۶۲ و ۰/۲۱ تا ۰/۸ کیلوبار محاسبه شد. گرینزندگی اکسیژن در ماقما بالاست که این با ماهیت آهکی قلیایی و شکل-گیری سنگ‌ها در محیط فرورانش همخوانی دارد.

واژه‌های کلیدی: شیمی کانی؛ گرینزندگی اکسیژن؛ منیزیوهومنبلند؛ آهکی قلیایی؛ برونبوهمهای؛ تکیه؛ قروه کردستان.

شیمیایی آمفیبول برای براورد دما- فشار و از زوج کانی آمفیبول- پلازیوکلاز همزیست به منظور دست‌یابی به دمای تبلور استفاده کرده‌اند [۵-۲].

پهنه سنندج- سیرجان از پهنه‌های دگرگونی- مامگمایی مهم ایران بوده که جایگاه نفوذ و جایگیری توده‌های بزرگ و کوچک گرانیتوئیدی است. توده نفوذی تکیه در جنوب شهرستان قروه و در شمال پهنه سنندج- سیرجان قرار دارد. پژوهش‌های ارزشمندی پیرامون فازهای فلزی و مافیک این پهنه بر گرانیتوئید قروه انجام شده‌اند [۶-۱۰]. البته به طور ویژه دما- فشار و عمق جایگیری توده نفوذی مناطق تکیه بالا و تکیه پایین گرانیتوئید قروه بررسی نشده است. در این مقاله که بخشی از نتایج پایان‌نامه نویسنده اول است شیمی کانی آمفیبول و دما- فشارسنجدی این توده بررسی شده است که می- تواند در تکمیل تاریخچه تشکیل توده نفوذی تکیه مفید باشد.

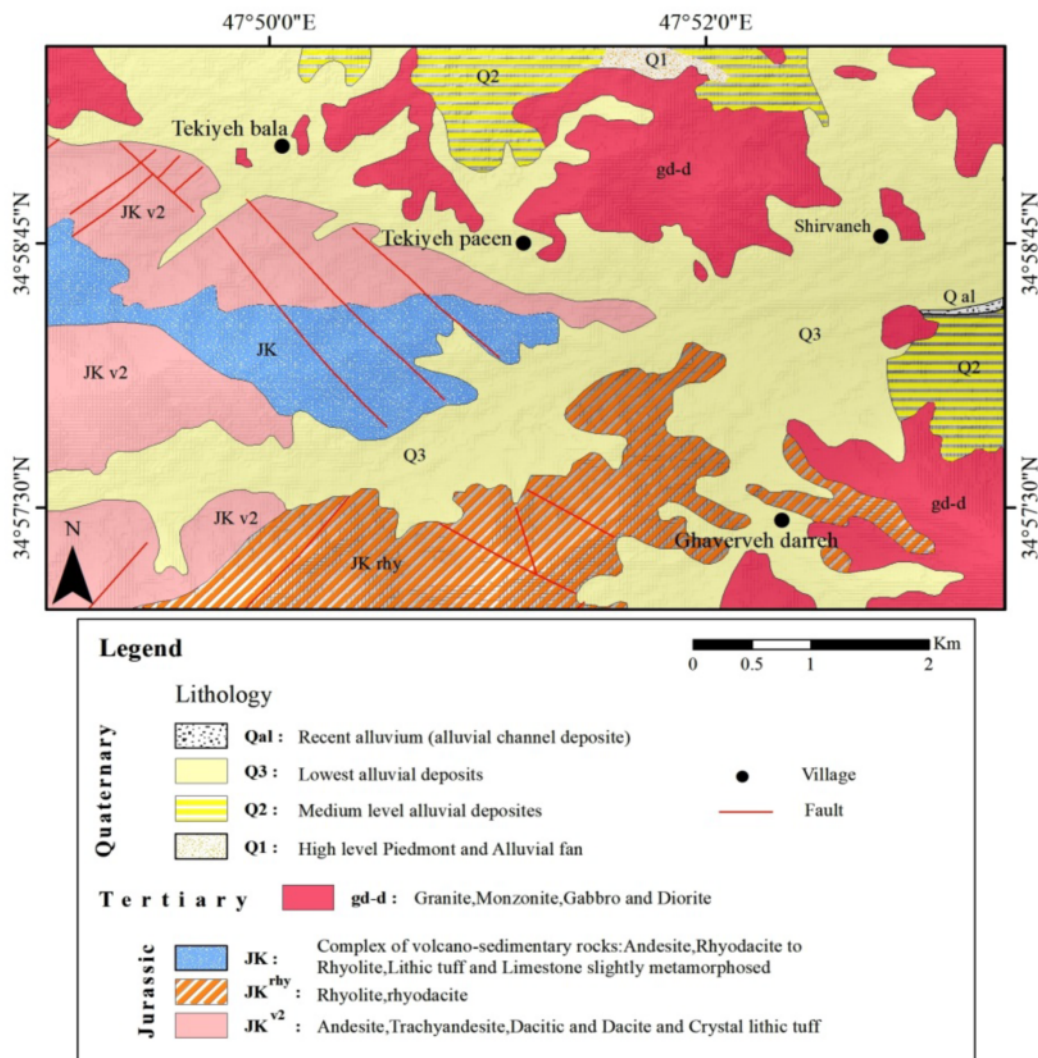
### مقدمه

براورد مقادیر فشار- دما و گرینزندگی اکسیژن در سامانه‌های مامگمایی اهمیت دارد، زیرا براساس آنها، سازوکارهای بیدایش سامانه‌های مامگمایی بررسی می‌شوند. آگاهی از عمق انجام داده ای اهکی قلیایی می‌تواند راهنمای خوبی برای تعیین دما و چگونگی تکامل شیمیایی کمرندهای کوه‌زایی باشد [۱]. برای بررسی این موضوع، اغلب از ترکیب شیمیایی کانی‌ها استفاده می‌شود. آمفیبول‌ها از مفیدترین کانی‌ها برای تعیین دما و فشار هستند کاربرد ترکیب شیمی کانی آمفیبول در تعیین شرایط محیطی تشکیل گرانیتوئیدها موضوعی شناخته شده است. این کانی در همه سنگ‌های آذرین فلزیک، حدواسط، مافیک و بسیاری از سنگ‌های دگرگونی در گستره دمای ۱۱۵۰-۴۴۰ درجه سانتیگراد و فشار ۱-۲۳ کیلوبار حضور دارند [۲]. از این رو، بسیاری از پژوهشگران از ترکیب

جنوب قروه)، که به سبب همسایگی با دو روستای تکیه بالا و تکیه پایین با نام عمومی "تکیه" شناخته می‌شود (شکل ۱). قدیمی‌ترین واحد چینه‌شناسی منطقه وابسته به تریاس و شامل دولومیت‌های بلورین و دولومیت‌های خرد شده است. شیل، شیست و سنگ‌های آتشفشنایی به سن ژوراسیک رسوب‌های تریاس را پوشانده‌اند. شیل و ماسه سنگ‌های دارای عدسی‌های آهکی به همراه سنگ‌های آتشفشنایی مجموعه رسوب‌ها را تشکیل می‌دهند که به صورت هم‌شیب روی رسوب‌های کرتاسه پسین-پالئوسن قرار دارند [۱۲]. سنگ‌های دگرگونی ناحیه‌ای (شیست، آمفیبولیت و مرمر) میزبان سنگ‌های آذربین هستند که بالاترین درجه‌ی دگرگونی آنها تا حد رخساره‌ی آمفیبولیت برآورد شده است.

### زمین‌شناسی و روابط صحرایی

پهنه دگرگونی-ماگمایی سندنج-سیرجان از پهنه‌های مهم کوهزاد زاگرس بوده که ناشی از فرورانش و برخورد صفحه عربی و خرد قاره ایران مرکزی در زمان کرتاسه پایانی تا ترشیری است [۱۱]. توده آذربین نفوذی جنوب قروه از توده‌های آذربین نفوذی زنجیره‌ای در پهنه سندنج-سیرجان بوده که مانند یک باتولیت بیضی شکل از شمال غرب به جنوب شرق کشیده شده است. سنگ‌های فلزی بخش مهم توده جنوب قروه را تشکیل داده‌اند و توده‌های مافیک و حدواسط به نسبت حجم و بروزند کمتری دارند. منطقه مورد بررسی در مختصات  $34^{\circ}57'30''N$  تا  $34^{\circ}58'45''N$  و  $47^{\circ}34'57''E$  تا  $47^{\circ}52'0''E$  قرار دارد [۱۰]. طول شرقی واقع است (۲۱ کیلومتر به سمت



شکل ۱ موقعیت توده نفوذی تکیه بر نقشه زمین‌شناسی (رسم شده با نرم‌افزار GIS).

برونبوم‌های ریزدانه مافیک یا برونبوم‌های ریزدانه‌ای قرار دارند. برونبوم‌های ریزدانه‌ای با شکل‌های تقریباً زاویه‌دار تا گردشده کامل در سنگ میزبان خود پراکنده هستند (شکل ۲). برونبوم‌ها در بردارنده پلاژیوکلاز و کانی‌های مافیک بسیار بوده، در حالی که سنگ‌های میزبان دارای مقادیر کمتری از این کانی‌ها هستند و در عوض، کوارتز و فلدسپار پتاسیم بیشتری دارند. مرز برونبوم‌ها با سنگ میزبان خود آشکار است و هاله واکنشی میان آن‌ها و سنگ در برگیرنده‌شان دیده نشده و به سختی از سنگ میزبان خود جدا می‌شوند (شکل ۳). اغلب درشت بلورهای برونبوم‌های ریزدانه‌ای و سنگ‌های میزبان در سطح تماس بین آن‌ها (مرز بین برونبوم و سنگ میزبان) واقع هستند از جمله درشت بلورهای موجود در مرز سنگ‌های بررسی شده فلدسپار پتاسیم، پلاژیوکلاز و آمفیبول هستند. برایه دارا بودن برونبوم‌های ریزدانه‌ای با مرزهای مشخص و نبود بافت‌های دگرگونی یا رسوبی را دلیلی بر آمیزش مagma مافیک و فلزی بیان کرده‌اند [۱۳، ۱۴]. در ادامه، نتایج سنگنگاری سنگ‌های مورد بررسی در منطقه بیان می‌شود.

### روش انجام پژوهش

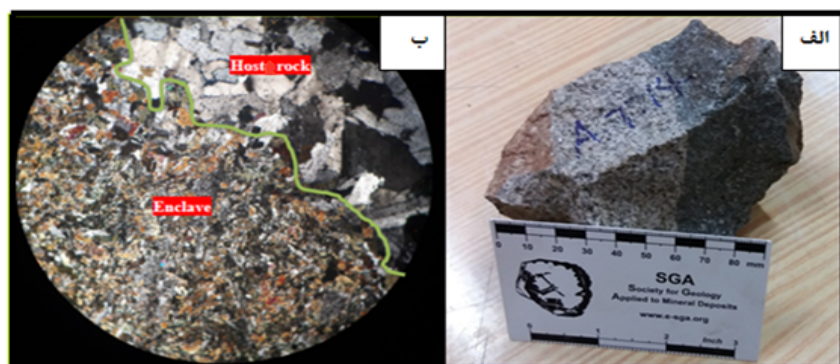
در بازدیدهای صحرایی از رخنمون‌های مختلف توده نفوذی تکیه، تعداد ۵۰ مقطع نازک برای بررسی‌های سنگ‌شناسی و تعداد ۴ مقطع نازک صیقلی برای تعزیه نقطه‌ای کانی‌های آمفیبول و پلاژیوکلاز تهیه شد. ۴۷ نقطه از ۱۳ کانی آمفیبول و ۴۹ نقطه از ۱۰ کانی پلاژیوکلاز در آزمایشگاه مرکزی دانشگاه ارسطوتسالونیکی یونان (A.U.Th) با دستگاه ریزپردازندۀ الکترونی مدل JEOL JSM-840A ساخت ژاپن با ولتاژ ۲۰ کیلوولت و شدت جریان ۴۰ نانوآمپر تعزیه شدند.

### سنگنگاری

توده نفوذی تکیه دارای برونبوم‌های متنوعی است به طوری که برونبوم‌های سنگ میزبان گرانیتی ترکیب دیوریت و برونبوم‌های سنگ میزبان مونزنونیتی ترکیب گابرویی دارند. در ترکیب برونبوم‌ها نسبت به سنگ میزبان، کانی‌های فرومیزین (آمفیبول و بیوتیت) بیشتری وجود دارد. فراوانترین کانی این سنگ‌ها پلاژیوکلاز و کانی‌های فرومیزین هستند که مقدار آمفیبول از بیوتیت بیشتر است. برونبوم‌ها نسبت به سنگ میزبان خود دانه‌ریزتر و تیره رنگ‌تر هستند و از این رو در گروه



شکل ۲ روابط صحرایی میان برونبوم‌ها و سنگ میزبان آن‌ها در توده نفوذی تکیه جنوب قزوه: (الف) دورنمایی از منطقه مورد بررسی و (ب) فراوانی و پراکندگی برونبوم دیوریتی در سنگ میزبان گرانیتی در برگیرنده‌ی آن‌ها.



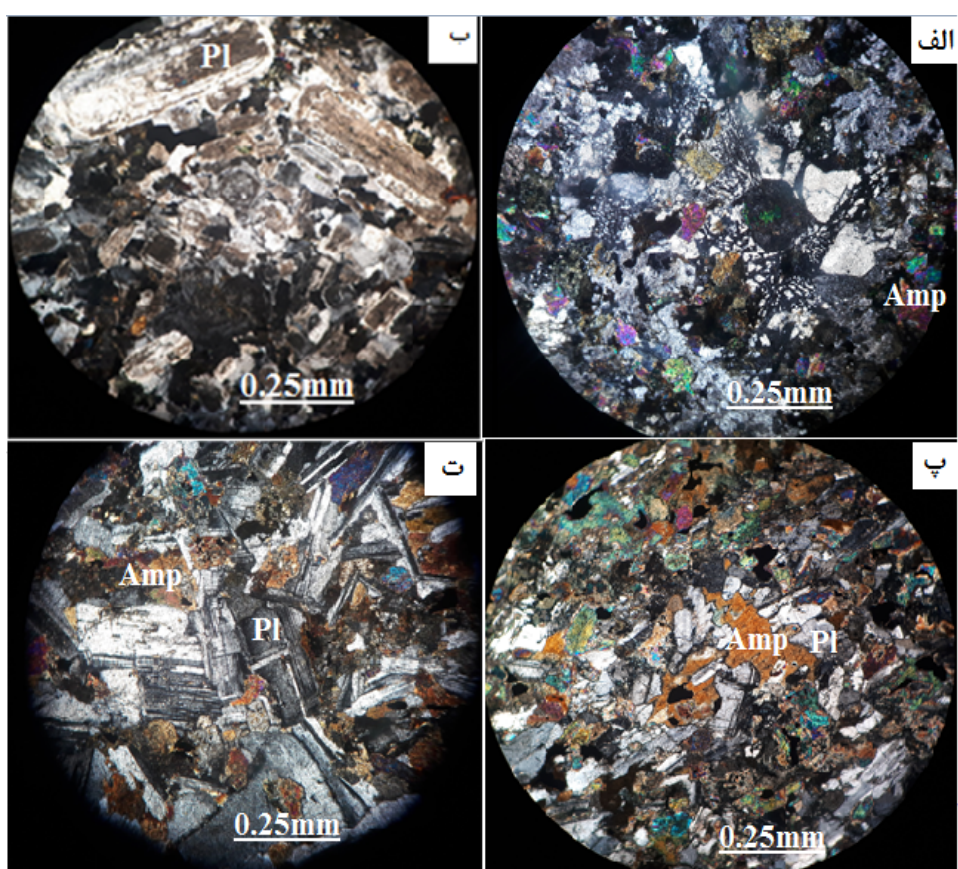
شکل ۳ مرز ناگهانی میان سنگ میزبان و برونبوم در (الف) نمونه دستی و (ب) نمونه میکروسکوپی.

فلدسپار قلیایی از یک مذاب سیلیسی در نزدیکی نقطه همگذاری و به احتمال بسیار در حضور فاز غنی از آب است. البته، گاهی تبلور این دو کانی از یک مذاب ابر سرد نیز باعث ایجاد این بافت می‌شود، همچنین وجود بافت پورفیری در این سنگ تبلور دو مرحله‌ای را نشان می‌دهد (شکل ۴ الف).

مونزونیت: مونزونیت‌ها در نمونه دستی به رنگ خاکستری تا سبز و دارای بافت دانه‌ای دانه‌متوسط و ریزدانه هستند. این سنگ از کانی‌های اصلی پلاژیوکلاز (۳۳-۳۵ درصد)، فلدسپار-قلیایی (۴۰-۴۵ درصد)، بیوتیت (۱۰-۱۵ درصد)، آمفیبول (۷-۱۰ درصد) و کوارتز (حدود ۴ درصد) تشکیل شده است. آپاتیت، اسفن و زیرکن از دیگر کانی‌های موجود در این سنگ هستند. پلاژیوکلاز به صورت تمام شکل دار تا نیمه شکل دار دیده می‌شود. ویژگی بارز این واحد سنگی برای تقریبی مقادیر پلاژیوکلاز و فلدسپار قلیایی است (شکل ۴ ب).

### سنگ میزبان‌ها

گرانیت: گرانیت‌ها در نمونه دستی به رنگ خاکستری روشن و عموماً دانه درشت هستند. آنها اغلب بافت کلی دانه‌ای دارند، اما در برخی بخش‌ها بافت‌های پرتیتی، گرانوفیری، نیمه شکل-دار دانه‌ای و گاهی پورفیری نیز دیده می‌شود. کانی‌های اصلی این سنگ ارتوکلاز و میکروکلین (۳۲-۵۰ درصد)، کوارتز (حدود ۳۰ درصد)، بیوتیت (کمتر از ۱۰ درصد) هستند. زیرکن، اسفن و سوزن‌های آپاتیت به صورت کانی‌های فرعی دیده می‌شوند. فلدسپارهای قلیایی نسبت به سایر کانی‌ها درشت بلورتر هستند و به سنگ بافت پورفیری می‌دهند. بافت گرانوفیری دیده شده مربوط به سنگ‌های درونی و به ویژه سنگ‌های نیمه عمیق است. این بافت همچنین از جمله بافت‌های شاخص در گرانیت-ها بوده و ناشی از همرشدی کوارتز و فلدسپار قلیایی در عمق کم است. بافت گرانوفیری نتیجه تبلور همزمان و سریع کوارتز و



شکل ۴ تصاویر میکروسکوپی مجموعه همیری کانیابی سازنده سنگ‌های توده نفوذی تکیه جنوب قزوین (در نور قطبیده متقطع، xpl): (الف) همرشدی کوارتز و ارتوکلاز (سنگ میزبان گرانیتی)، (ب) بلورهای پلاژیوکلاز (سنگ میزبان مونزونیتی)، (پ) بلورهای آمفیبول و پلاژیوکلاز (برونیوم دیوریتی)، (ت) هم مرز بودن بلورهای آمفیبول و پلاژیوکلاز که تعادل این دو کانی در زمان تبلور را نشان می‌دهد (برونیوم گابرویی). Pl : پلاژیوکلاز، فلدسپار پتاسیم ، Amp : آمفیبول.

الکترونی و محاسبه و فرمول ساختاری آنها براساس آمفیبیول استاندارد<sub>2</sub> (OH)  $AB_2C_5^{IV}T_8O_{22}$  و بر پایه ۲۳ اکسیژن در جدول های ۱ تا ۳ ارائه شده است. نکته مهم پیش از محاسبه فرمول استاندارد، انتخاب روش مناسب برای بهنجار کردن آمفیبیول است، زیرا انتخاب نوع روش بر مقدار  $Al^{IV}$  و  $Al^T$  اثر دارد و در نتیجه می‌تواند باعث افزایش خطای دمای محاسبه شده شود، ولی در محاسبه فشار بی‌تاثیر است. فرمول ساختاری و فشار بر پایه ۲۳ اکسیژن و ۱۳ کاتیون محاسبه شدند [۱۶]. بر اساس رده‌بندی مرجع [۱۶]، ترکیب آمفیبیول‌های مورد بررسی در گروه آمفیبیول‌های کلسیمی و در زیرگروه منیزیو هورنبلند و اکتینولیت قرار دارند (شکل‌های ۵الف و ب).

برای نامگذاری و تشخیص نوع آمفیبیول، نخست نموداری بر اساس داده‌های انجمن جهانی کانی‌شناسی (IMA)، تنظیم گردید و نقاط تجزیه شده بر آن جایایی شدند (شکل ۵ الف). بر این اساس، همه نمونه‌ها در گروه آمفیبیول‌های کلسیمی قرار دارند. برای تعیین زیرگروه آمفیبیول‌ها از شکل‌های ۵ ب و پ استفاده شد که بر این اساس، آمفیبیول‌های موجود در گروه مگنزیوهومنبلند و اکتینولیت قرار دارند. آمفیبیول‌ها بر پایه مقادیر شیمیایی فرمول استاندارد خود و بر اساس پر شدگی جایگاه B، به پنج گروه: گروه منیزیم-آهن-منگز-لیتیم، کلسیمی-سدیمی، سدیمی و سدیم-کلسیم-منیزیم-آهن-منگز-لیتیم تقسیم می‌شوند. برای این منظور از شکل-های ۵ ب و پ استفاده شد [۱۶]. فرمول ساختاری آمفیبیول‌های توده نفوذی تکیه بر اساس رده‌بندی مرجع [۱۶] در جدول ۴ آورده شده است. برای تعیین نوع آمفیبیول‌ها و زیرگروه آن‌ها از روش جدیدتر مرجع [۱۷] نیز استفاده گردید. نتایج محاسبات با این روش نیز همخوانی خوبی با روش‌های پیشین دارد (شکل ۵ ت).

نخستین شرط کاربرد شیمی کانی آمفیبیول در سنگ شناسی، ماقمایی بودن آن است. آمفیبیول‌های آذرین و دگرگونی به روش مرجع [۱۸] و براساس مجموع کاتیون‌های  $Na+K+Ca$  نسبت به Si از هم تفکیک می‌شوند. بر پایه این رده‌بندی، نمونه‌های مورد بررسی در گسترهٔ آمفیبیول‌های آذرین قرار دارند (شکل ۶ الف). افزون بر این، مقدار Si در بیشتر آمفیبیول‌ها در گستره ۶/۹۳ تا ۷/۷۰ قرار دارد. به باور لیک و همکاران [۱۹]، این مقدار Si آذرین بودن این کانی‌ها را نشان می‌دهد.

پلازیوکلاز: بر پایه نمودار مرجع [۲۰]، ترکیب پلازیوکلاز‌های بررسی شده در سنگ‌های میزبان الیگوکلاز تا آندزین و در

### انکلاوها

دیوریت‌ها در نمونه دستی سبز تیره تا سبز خاکستری هستند این واحد سنگی دارای دانه‌بندی ریز تا متوسط بلور است. از نظر ضریب رنگینی، این سنگ‌ها نیمه روشن تا تیره بوده و بیشتر دارای بافت دانه‌ای هستند. این سنگ از کانی‌های اصلی پلازیوکلاز ۲۵-۵۹ (درصد)، آمفیبیول ۱۷-۲۱ (درصد)، کوارتز ۲-۱۴ (درصد)، فلدسپار قلیایی ۶-۱۵ (درصد)، بیوتیت ۲-۷ (درصد) و به ندرت پیروکسن تشکیل شده است. اسفن، زیرکن، آپاتیت و اکسیدهای فلزی کانی‌های جزئی محسوب می‌شوند. سرسیت فراوانترین کانی ثانویه بوده و از دگرسانی کانی‌های پلازیوکلاز و فلدسپار قلیایی ایجاد شده است. کلریت نیز در اثر دگرسانی آمفیبیول و اپیدوت از دگرسانی پلازیوکلاز بوجود آمده‌اند. آمفیبیول در این سنگ‌ها به صورت تمام شکل دار تا نیمه شکل دار بوده و از نوع هورنبلند سبز است (شکل ۴ پ).

**گابرو:** گابروها در نمونه دستی به رنگ خاکستری تیره دیده می‌شوند بافت غالب در این سنگ‌ها میان دانه‌ای است. دو کانی مهم آنها پلازیوکلاز (حدود ۵۰ درصد) و کانی‌های مافیک چون هورنبلند و پیروکسن (حدود ۳۰ درصد) هستند. کانی‌های فرعی شامل آپاتیت، زیرکن، کدر، اسفن و به ندرت بیوتیت هستند. بلورهای آمفیبیول در نور طبیعی به رنگ سبز تا قهوه‌ای تیره و به صورت بی‌شکل تا نیمه شکل دار دیده می‌شوند. بافت خال خال و میانبارهایی چون بیوتیت، زیرکن، اسفن و پلازیوکلاز نیز گاه در بلورهای فرومیزین چون آمفیبیول پر می‌کنند [۱۵]. در واقع، بلورهای پلازیوکلاز در نخست از یک مایع رشد نموده، و سپس با هم برخورد کرده و رشد آنها متوقف شده است؛ و در مرحله بعد، کانی‌هایی چون آمفیبیول در بین پلازیوکلازها متبلور شده و در فضای بین آنها قرار می‌گیرند. به عبارتی می‌توان گفت که در ماقماهای با سرددشگی بالا یا در نزدیکی سطح زمین، یک نوع کانی به تنهایی فرست کافی ندارد که فضاهای خالی ایجاد شده را پر نماید، در نتیجه، کانی‌هایی که در مراحل بعد متبلور می‌شوند به طور ترجیحی در این فضا هسته‌بندی و رشد می‌کنند (شکل ۴ ت).

### شیمی کانی‌ها

آمفیبیول: آمفیبیول مهمترین و فراوان‌ترین کانی فرومیزین در سنگ‌های توده نفوذی تکیه به ویژه سنگ میزبان گرانیتی و برونیوم دیوریتی است. نتایج تجزیه این کانی‌ها با ریزپردازند

در سنگ‌های میزبان و برونبوم‌های منطقه از لبه به مرکز در شکل‌های ۷ ب تا ث نشان داده شده است. منطقه‌بندی آنها اغلب عادی و گاهی نوسانی با ترکیب بیتونیت، آندزین و الیگوکلاز است.

برونبوم‌ها بین ترکیب الیگوکلاز تا بیتونیت در تغییر هستند (شکل ۶ ب، جدول ۵). یک تصویر الکترونی از مسیر تجزیه کانی پلاژیوکلاز در سنگ میزبان موزونوئیتی برای نمونه شکل ۷ الف آورده شده است. الگوی منطقه‌بندی بلورهای پلاژیوکلاز

جدول ۱ نتایج تجزیه نقطه‌ای آمفیبول‌ها در گرانیت‌ها

	A.T.H.29.1 گانت مقصیت	A.T.H.29.2 گانت N	A.T.H.29.3 گانت 34°59'54.7"	A.T.H.29.4 گانت E	A.T.H.29.5 گانت 047°49'26.2"	A.T.H.29.6 گانت	A.T.H.29.7 گانت
SiO <sub>2</sub>	۵۱.۸۶	۵۰.۷۰	۵۲.۵۴	۵۳.۶۳	۵۴.۱۲	۵۱.۵۸	۴۷.۶۰
TiO <sub>2</sub>	.۶۶	۱.۴۵	.۹۶	.۴۳	.۶۶	۱.۰۸	۱.۸۴
Al <sub>2</sub> O <sub>3</sub>	۴.۴۳	۴.۹۵	۴.۹۲	۴.۵۶	۴.۴۷	۵.۲۵	۸.۰۷
Cr <sub>2</sub> O <sub>3</sub>	.	.	.	.	.	.	.
Fe <sub>2</sub> O <sub>3</sub>	.۶۷	۷.۴۷	۴.۲۶	۱.۳۶	.۳۹	۲.۴۸	۳.۴۵
FeO	۱۱.۹۸	۵.۹۰	۸.۸۶	۱۰.۷۴	۱۰.۹۶	۹.۷۲	۹.۹۱
MnO	.۱۴	.۰۵۳	.۰۲۳	.۰۴۷	.	.۰۲۳	.۰۱۶
MgO	۱۴.۵۶	۱۵.۲۹	۱۴.۳۵	۱۴.۲۳	۱۴.۷۵	۱۴.۶۶	۱۲.۸۹
CaO	۱۱.۵۰	۱۰.۶۳	۱۰.۲۰	۱۰.۴۴	۱۰.۹۵	۱۰.۷۳	۱۰.۸۹
Na <sub>2</sub> O	۱.۳۴	۱.۰۹	۱.۱۲	۱.۲۶	.۹۰	۱.۸۳	۱.۳۴
K <sub>2</sub> O	.۰۵۲	.۰۵۷	.۰۶۷	.۰۶۳	.۰۴۰	.۰۳۴	۱.۰۱
H <sub>2</sub> O*	۲.۰۷	۲.۰۲	۲.۰۳	۲.۰۹	۲.۰۶	۱.۹۹	۲.۰۶
مجموع	۹۹.۷۴	۱۰۰.۸۷	۱۰۰.۳۵	۹۹.۸۵	۹۹.۸۲	۱۰۰.۰۰	۹۹.۸۵
Si	۷.۴۹۷	۷.۲۰۹	۷.۴۸۴	۷.۶۶۶	۷.۷۰۱	۷.۳۹۹	۶.۹۳۲
Al <sup>IV</sup>	.۰۵۳	.۰۹۱	.۰۱۶	.۰۳۴	.۰۲۹۸	.۰۶۰۱	۱.۰۶۷
Al <sup>VI</sup>	.۰۲۵۱	.۰۳۸	.۰۳۰	.۰۴۳۳	.۰۴۵۲	.۰۲۸۷	.۰۳۱۸
Ti	.۰۰۷۱	.۰۱۵۵	.۰۱۰۳	.۰۰۴۶	.۰۰۷۱	.۰۱۱۶	.۰۲۰۲
Cr	.	.	.	.	.	.	.
Fe <sup>+3</sup>	.۰۰۷۳	.۰۰۹۹	.۰۰۵۶	.۰۱۴۷	.۰۰۴۲	.۰۲۶۷	.۰۳۷۸
Fe <sup>+2</sup>	۱.۴۴۸	.۰۰۷۲	۱.۰۵۵	۱.۲۸۴	۱.۳۰۵	۱.۱۶۶	۱.۲۰۷
Mn	.۰۰۱۷	.۰۶۴	.۰۰۲۸	.۰۰۵۷	.	.۰۰۲۸	.۰۰۹۴
Mg	۳.۱۳۸	۳.۲۴۱	۳.۰۴۷	۳.۰۳۲	۳.۱۲۹	۳.۱۳۵	۲.۷۹۹
Ca	۱.۷۸۲	۱.۶۱۹	۱.۵۵۷	۱.۵۹۸	۱.۶۷۰	۱.۶۴۹	۱.۷۰۰
Na	.۰۳۷۶	.۰۰۹۹	.۰۰۱۰	.۰۰۵۰	.۰۰۴۸	.۰۰۵۲	.۰۳۷۹
K	.۰۰۹۶	.۰۱۰۳	.۰۱۲۱	.۰۱۱۴	.۰۰۷۳	.۰۰۶۳	.۰۱۸۷
(Ca+Na)	۲	۱.۹۱۹	۱.۸۶۶	۱.۹۴۸	۱.۹۱۸	۲	۲
(Na+K)	.۰۲۵۴	.۰۱۰۳	.۰۱۲۱	.۰۱۱۴	.۰۰۷۳	.۰۱۶۴	.۰۲۶۷

۱ ادامه جدول ۱

	A.T.H.29.8 گانت	A.T.H.29.9 گانت	A.T.H.29.10 گانت	A.T.H.29.11 گانت	A.T.H.29.12 گانت	A.T.H.29.13 گانت	A.T.H.29.14 گانت
SiO <sub>2</sub>	۵۳.۲۵	۴۹.۲۷	۴۸.۹۸	۵۲.۶۰	۵۰.۱۸	۴۹.۲۱	۵۰.۲۷
TiO <sub>2</sub>	.۷۱	.	۱.۲۶	۱.۰۷	۱.۵۵	۱.۵۸	۱.۴۰
Al <sub>2</sub> O <sub>3</sub>	۴.۵۵	۶.۳۸	۷.۴۰	۶.۳۱	۵.۲۷	۶.۹۸	۶.۷۹
Cr <sub>2</sub> O <sub>3</sub>	.	.	.	.	.	.	.
Fe <sub>2</sub> O <sub>3</sub>	.	.۰۵۹	۷.۵۸	۴.۸۰	۶.۱۰	۳.۵۰	۶.۴۰
FeO	۱۱.۶۵	۱۶.۵۹	۵.۱۹	۶.۷۴	۷.۶۵	۹.۳۰	۶.۲۸
MnO	.۰۴۷	.۰۴۵	.۰۶۹	.۰۶۳	.۰۳۳	.۰۶۵	.۰۷۸
MgO	۱۴.۴۹	۹.۸۹	۱۱.۶۱	۱۴.۴۷	۱۴.۵۴	۱۳.۸۲	۱۴.۴۳
CaO	۱۱.۶۸	۱۰.۰۸	۹.۸۲	۱۰.۳۵	۹.۹۴	۱۰.۳۱	۱۰.۲۴
Na <sub>2</sub> O	.۰۷	۱.۰۳	۱.۹۲	.۰۶۲	۱.۷۴	۲.۲۸	۱.۴۵
K <sub>2</sub> O	.۰۴۵	۱.۱۶	.۰۸۱	.۰۴۸	.۰۸۴	.۰۴۵	.۰۵۱
H <sub>2</sub> O*	۲.۰۹	۱.۵۱	۲.۰۳	۲.۱۳	۲.۰۴	۲.۰۸	۲.۱۱
مجموع	۱۰۰.۰۰	۹۸.۹۰	۱۰۰.۴۹	۱۰۰.۲۰	۱۰۰.۳۳	۱۰۰.۱۴	۱۰۰.۶۶
Si	۷.۶۱۷	۷.۴۲۹	۶.۹۹۷	۷.۴۱۵	۷.۲۰۷	۷.۰۹۴	۷.۱۳۷
Al <sup>IV</sup>	.۰۳۸۳	.۰۵۷۰	۱.۰۰۷	.۰۵۸۴	.۰۷۹۲	.۰۹۰۵	.۰۸۶۲
Al <sup>VI</sup>	.۰۳۸۵	.۰۵۶۲	.۰۲۳۷	.۰۴۶۴	.۰۱۰۰	.۰۲۸۰	.۰۲۷۳
Ti	.۰۰۷۶	.	.۰۱۳۵	.۰۱۱۴	.۰۱۶۷	.۰۱۷۱	.۰۱۴۹
Cr	.	.	.	.	.	.	.
Fe <sup>+3</sup>	.	.۰۰۶۷	.۰۸۱۴	.۰۵۰۹	.۰۶۵۹	.۰۳۸۰	.۰۶۸۴
Fe <sup>+2</sup>	۱.۳۹۳	۲.۰۹۱	.۰۶۲۰	.۰۷۹۴	.۰۹۱۸	۱.۱۲۰	.۰۷۴۵
Mn	.۰۰۵۶	.۰۰۵۷	.۰۰۸۳	.۰۰۷۴	.۰۰۴۰	.۰۰۷۸	.۰۰۹۴
Mg	۲.۰۸۹	۲.۲۲۱	۳.۱۰۹	۲.۰۴۱	۳.۱۱۳	۲.۹۶۹	۳.۰۵۳
Ca	۱.۷۸۹	۱.۷۰۹	۱.۵۰۲	۱.۵۶۳	۱.۵۲۹	۱.۵۹۲	۱.۵۵۷
Na	.۰۱۸۵	.۰۳۰۰	.۰۵۳۲	.۰۱۶۸	.۰۴۸۵	.۰۶۳۵	.۰۳۹۸
K	.۰۰۸۱	.۰۲۲۲	.۰۱۴۸	.۰۰۸۶	.۰۱۵۴	.۰۰۸۲	.۰۰۹۲
(Ca+Na)	۱.۹۷۵	۲	۲	۱.۷۳۱	۲	۲	۱.۹۵۶
(Na+K)	.۰۰۸۱	.۰۲۳۱	.۰۱۸۳	.۰۰۸۶	.۰۱۶۹	.۰۳۱۰	.۰۰۹۲

## ادامه جدول ۱

A.T.H.29.15	A.T.H.29.16	A.T.H.29.17	A.T.H.29.18	A.T.H.29.19	A.T.H.29.20	.T.H.29.21
گرانیت	گرانیت	گرانیت	گرانیت	گرانیت	گرانیت	گرانیت
SiO <sub>2</sub>	۵۱,۱۷	۴۸,۰۷	۵۰,۴۹	۵۲,۱۰	۵۱,۱۴	۵۰,۲۴
TiO <sub>2</sub>	۱,۶۱	۱,۲۸	۱,۸۱	۱,۳۲	۱,۹۱	۱,۶۷
Al <sub>2</sub> O <sub>3</sub>	۶,۳۸	۶,۵۳	۵,۶۹	۵,۴۰	۵,۱۹	۶,۵۰
Cr <sub>2</sub> O <sub>3</sub>	.	.	.	.	.	.
Fe <sub>2</sub> O <sub>3</sub>	۴,۶۹	۲,۱۶	۰,۰۳	۳,۰۶	۲,۹۷	۶,۷۸
FeO	۷,۱۱	۱۲,۷۲	۱۲,۷۴	۱۰,۰۱	۹,۲۸	۷,۰۱
MnO	۰,۲۷	۰,۴۸	۰,۳۹	۰,۵۶	۰,۶۴	۰,۲۳
MgO	۱۴,۶۸	۱۲,۰۸	۱۳,۶۱	۱۲,۷۸	۱۴,۳۷	۱۴,۰۶
CaO	۱۰,۱۳	۱۲,۰۳	۱۱,۰۲	۱۰,۳۶	۱۰,۴۸	۱۰,۰۹
Na <sub>2</sub> O	۱,۳۸	۱,۱۱	۱,۷۵	۱,۴۴	۱,۵۴	۱,۳۴
K <sub>2</sub> O	۰,۴۴	۰,۳۵	۰,۶۳	۰,۳۰	۰,۳۹	۰,۳۵
H <sub>2</sub> O*	۲,۰۷	۱,۹۱	۲,۰۲	۲,۱۰	۲,۰۴	۲,۱۱
Total	۱۰۰,۰۹	۱۰۰,۱۴	۱۰۰,۳۷	۱۰۰,۴۵	۱۰۰,۱۲	۱۰۰,۴۱
Si	۷,۲۸۹	۷,۰۸۰	۷,۳۰۳	۷,۴۲۹	۷,۳۳۳	۷,۱۵۴
Al <sup>IV</sup>	۰,۷۳۰	۰,۹۱۹	۰,۶۹۶	۰,۵۷۰	۰,۶۶۶	۰,۸۴۶
Al <sup>VI</sup>	۰,۳۳۹	۰,۲۱۵	۰,۲۷۳	۰,۳۳۹	۰,۲۱۲	۰,۲۴۶
Ti	۰,۱۷۳	۰,۱۴۲	۰,۱۹۸	۰,۱۲۲	۰,۲۰۶	۰,۱۷۹
Cr	.	.	.	.	.	.
Fe <sup>+3</sup>	۰,۵۰۲	۰,۲۳۹	۰,۰۰۳	۰,۳۲۸	۰,۳۲۰	۰,۷۲۷
Fe <sup>+2</sup>	۰,۸۴۴	۱,۶۹۰	۱,۵۴۰	۱,۱۹۳	۱,۱۱۳	۰,۸۳۵
Mn	۰,۱۳۳	۰,۰۵۹	۰,۰۴۸	۰,۰۶۷	۰,۰۷۷	۰,۰۲۷
Mg	۲,۱۰۸	۲,۶۵۳	۲,۹۳۶	۲,۹۲۹	۳,۰۷۱	۲,۹۸۵
Ca	۱,۵۴۲	۱,۸۹۹	۱,۷۰۸	۱,۵۸۲	۱,۶۱۰	۱,۵۳۹
Na	۰,۳۸۰	۰,۳۱۶	۰,۴۸۹	۰,۳۹۸	۰,۴۲۷	۰,۳۶۹
K	۰,۷۹	۰,۰۶۶	۰,۱۱۶	۰,۰۵۵	۰,۰۷۱	۰,۶۴
(Ca+Na)	۱,۹۲۲	۲	۲	۱,۹۸۰	۲	۱,۹۰۹
(Na+K)	۰,۰۷۹	۰,۲۸۱	۰,۲۸۱	۰,۰۵۵	۰,۱۱۰	۰,۰۶۴
						۰,۰۹۹

جدول ۲ نتایج تجزیه نقطه‌ای آمفیبول‌ها تحریزه در مونزونیت‌ها (محاسبه کاتیون‌ها بر اساس ۲۳ اکسیژن).

موقعیت	A.T.H.23.1	A.T.H.23.2	A.T.H.23.3	A.T.H.23.4	A.T.H.23.5	A.T.H.23.6	A.T.H.23.7
	موزونویت N	موزونویت 34°۵۹'۵۶,۳"	موزونویت E	موزونویت 047°۴۹'۲۸,۹"	موزونویت	موزونویت	موزونویت
SiO <sub>2</sub>	۴۹,۷۳	۵۰,۱۶	۵۰,۳۹	۵۰,۲۰	۵۱,۴۸	۵۱,۰۳	۵۰,۱۹
TiO <sub>2</sub>	۱,۱۹	۱,۲۴	۱,۱۱	۱,۶۷	۱,۵۷	۱,۳۸	۱,۴۰
Al <sub>2</sub> O <sub>3</sub>	۶,۳۲	۵,۲۰	۶,۷۰	۶,۲۴	۵,۹۸	۶,۱۲	۵,۷۲
Cr <sub>2</sub> O <sub>3</sub>	۰,۱	۰,۱۶	.	.	.	۰,۱۲	.
Fe <sub>2</sub> O <sub>3</sub>	۳,۷۶	۸,۰۹	۰,۶۹	۴,۲۵	۶,۹۳	۶,۶۲	۶,۹۵
FeO	۱۰,۹۸	۰,۷۱	۷,۷۵	۹,۸۱	۶,۷۸	۶,۹۲	۸,۰۸
MnO	۰,۱۴	۰,۲۶	۰,۳۲	۰,۴۵	.	۰,۲۴	۰,۱۵
MgO	۱۳,۳۷	۱۴,۹۳	۱۳,۹۷	۱۳,۳۷	۱۴,۳۴	۱۴,۰۴	۱۴,۹۹
CaO	۱۱,۶۰	۹,۹۸	۱۰,۷۱	۱۰,۵۳	۹,۹۳	۹,۷۶	۱۰,۲۹
Na <sub>2</sub> O	۱,۱۸	۱,۶۹	۱,۲۵	۱,۶۶	۱,۳۷	۱,۵۸	۱,۷۴
K <sub>2</sub> O	.	.	.	.	.	.	.
H <sub>2</sub> O*	۲,۰۳	۲,۰۵	۲,۰۴	۲,۰۴	۲,۱۲	۲,۰۰	۲,۰۰
مجموع	۱۰۰,۴۶	۱۰۰,۳۵	۱۰۰,۱۶	۱۰۰,۴۰	۱۰۰,۴۳	۱۰۰,۰۰	۱۰۰,۰۰
Si	۷,۱۷۱	۷,۲۲۴	۷,۱۹۷	۷,۲۰۸	۷,۲۷۲	۷,۲۷۳	۷,۱۷۶
Al <sup>IV</sup>	۰,۸۲۸	۰,۷۸۵	۰,۸۰۳	۰,۷۹۱	۰,۷۲۸	۰,۷۲۷	۰,۸۲۴
Al <sup>VI</sup>	۰,۲۴۶	۰,۱۰۷	۰,۳۲۵	۰,۲۶۵	۰,۱۶۹	۰,۳۰۲	۰,۱۳۸
Ti	۰,۱۹	۰,۱۳	۰,۱۲۰	۰,۱۸۰	۰,۱۶۷	۰,۱۴۸	۰,۱۵۱
Cr	۰,۰۰۱	۰,۰۱۷	.	.	.	۰,۰۰۲	.
Fe <sup>+3</sup>	۰,۴۰۸	۰,۸۶۷	۰,۶۱۲	۰,۴۵۹	۰,۷۳۸	۰,۷۰۹	۰,۷۴۸
Fe <sup>+2</sup>	۱,۳۲۵	۰,۶۷۹	۰,۹۲۶	۱,۱۷۹	۰,۸۰۲	۰,۸۲۵	۰,۷۲۷
Mn	۰,۰۱۷	۰,۱۲۱	۰,۰۳۹	۰,۰۵۴	.	۰,۰۲۹	۰,۰۰۵
Mg	۲,۸۷۳	۳,۱۶۵	۲,۹۷۵	۲,۸۶۱	۳,۰۲۴	۲,۹۸۳	۳,۱۹۵
Ca	۱,۷۹۲	۱,۵۲۱	۱,۶۳۹	۱,۶۲۰	۱,۰۰۵	۱,۴۹۰	۱,۵۷۶
Na	۰,۳۲۹	۰,۴۶۶	۰,۳۴۷	۰,۴۶۳	۰,۷۸۵	۰,۴۳۶	۰,۴۸۲
K	.	.	.	.	.	.	.
(Ca+Na)	۲	۱,۹۸۸	۱,۹۸۶	۲	۱,۸۸۰	۱,۹۲۶	۲
(Na+K)	۰,۱۲۲	.	.	۰,۰۸۴	.	.	۰,۰۵۹

## ادامه جدول ۲

	A.T.H.23.8	A.T.H.23.9	A.T.H.23.10	A.T.H.23.11
	مونزونیت	مونزونیت	مونزونیت	مونزونیت
SiO <sub>2</sub>	۵۲,۰۲	۵۱,۲۰	۵۰,۲۱	۴۹,۷۸
TiO <sub>2</sub>	۰,۸۸	۰,۹۸	۱,۲۳	۱,۴۹
Al <sub>2</sub> O <sub>3</sub>	۴,۱۷	۶,۶۹	۵,۶۳	۶,۱۶
Cr <sub>2</sub> O <sub>3</sub>	۰,۳۶	.	.	.
Fe <sub>2</sub> O <sub>3</sub>	۵,۲۵	۰,۰۷	۴,۶۳	۶,۰۴
FeO	۸,۹۵	۱۳,۰۶	۹,۵۴	۸,۶۴
MnO	۰,۰۵	۰,۲۱	۰,۱۰	۰,۲۰
MgO	۱۴,۱۸	۱۲,۷۸	۱۳,۷۸	۱۲,۴۶
CaO	۱۰,۷۹	۱۰,۷۵	۱۰,۶۹	۱۰,۱۲
Na <sub>2</sub> O	۰,۹۵	۱,۹۱	۱,۶۲	۱,۷۹
K <sub>2</sub> O	.	.	.	.
H <sub>2</sub> O*	۲,۰۴	۱,۹۷	۱,۹۳	۱,۹۲
مجموع	۹۹,۹۹	۹۹,۹۹	۹۹,۹۷	۱۰۰,۱۲
Si	۷,۴۵۸	۷,۳۸۹	۷,۲۵۳	۷,۱۷۴
Al <sup>IV</sup>	۰,۵۴۱	۰,۶۱۰	۰,۷۴۷	۰,۸۲۶
Al <sup>VI</sup>	۰,۱۶۴	۰,۵۲۹	۰,۲۱۳	۰,۲۲۱
Ti	۰,۰۹۵	۰,۱۰۶	۰,۱۳۴	۰,۱۴۸
Cr	۰,۰۴۱	.	.	.
Fe <sup>+3</sup>	۰,۵۶۶	۰,۰۰۷	۰,۵۰۴	۰,۶۵۵
Fe <sup>+2</sup>	۱,۰۷۴	۱,۵۷۶	۱,۱۵۲	۱,۰۴۲
Mn	۰,۰۲۸	۰,۰۲۵	۰,۰۱۲	۰,۰۲۵
Mg	۲,۰۳۱	۲,۷۴۸	۲,۹۶۷	۲,۸۹۳
Ca	۱,۶۵۷	۱,۶۶۳	۱,۶۵۴	۱,۵۶۳
Na	۰,۲۶۴	۰,۵۳۵	۰,۴۵۲	۰,۴۹۸
K	.	.	.	.
(Ca+Na)	۲	۲	۲	۲
(Na+K)	۰,۰۵۹	۰,۱۰۷	۰,۱۰۷	۰,۱۰۶

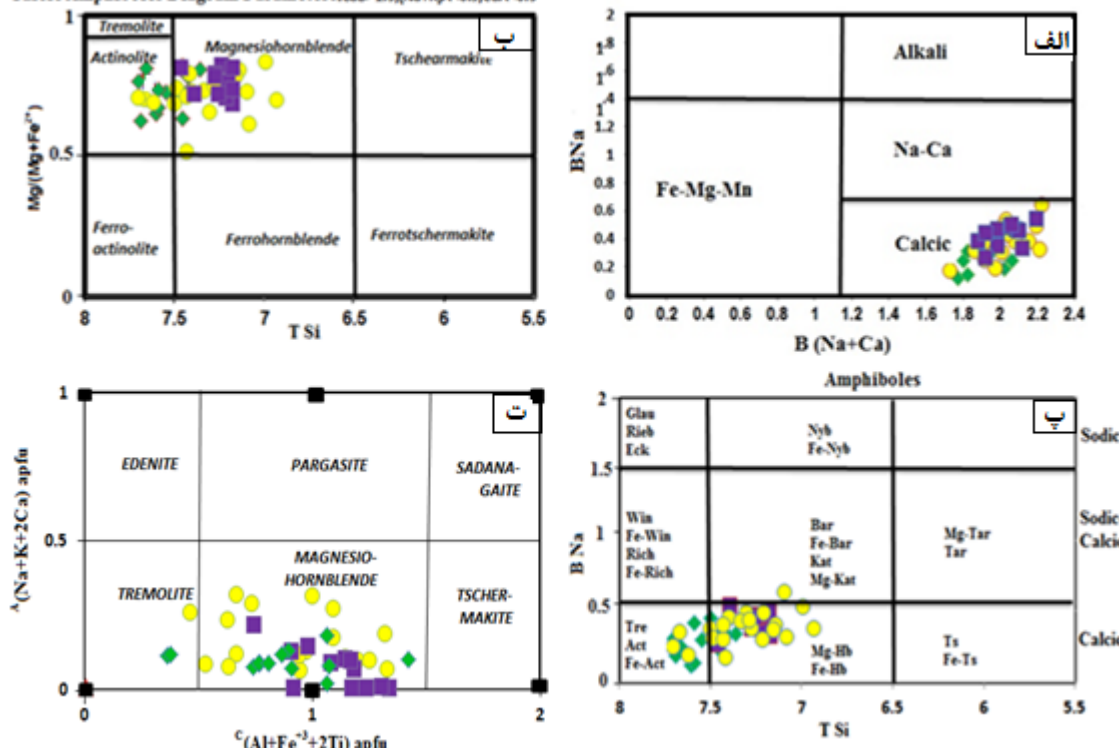
جدول ۳ نتایج و تجزیه نقطه‌ای آمفیبول‌ها در دیوریت‌ها و گابروها (محاسبه کاتیون‌ها بر اساس ۲۳ اکسیژن).

	A.T.E.29.1	A.T.E.29.2	A.T.E.29.3	A.T.E.29.4	A.T.E.29.5	A.T.E.29.6	A.T.E.29.7
موقعیت	دیوریت	دیوریت	دیوریت	دیوریت	دیوریت	دیوریت	دیوریت
	N	34°59'54",7"	E	047°49'26,2"			
SiO <sub>2</sub>	۵۴,۴۹	۵۲,۱۲	۵۱,۹۲	۵۱,۹۳	۵۳,۹۶	۵۲,۲۸	۵۲,۸۰
TiO <sub>2</sub>	۱,۲۰	۰,۴۷	۱,۳۱	۱,۰۶	۰,۸۵	۰,۱۵	۰,۹۳
Al <sub>2</sub> O <sub>3</sub>	۳,۳۵	۴,۹۳	۵,۲۸	۵,۶۳	۳,۰۵	۴,۹۲	۴,۶۴
Cr <sub>2</sub> O <sub>3</sub>	.	.	.	.	.	.	.
Fe <sub>2</sub> O <sub>3</sub>	۲,۰۹	۰,۰۹	۰,۱۵	۴,۴۸	۵,۲۷	۲,۹۴	۶,۴۳
FeO	۸,۷۲	۷,۵۱	۶,۵۹	۸,۸۱	۶,۶۵	۹,۸۹	۵,۹۳
MnO	۰,۰۴	۰,۱۹	۰,۰۸	۰,۲۸	۰,۰۷	۰,۳۸	۰,۱۲
MgO	۱۵,۹۱	۱۵,۲۴	۱۵,۵۲	۱۳,۸۵	۱۵,۵۲	۱۳,۸۵	۱۶,۰۶
CaO	۱۰,۴۹	۱۰,۸۱	۱۰,۲۱	۱۰,۰۵	۱۰,۲۲	۹,۹۴	۹,۹۷
Na <sub>2</sub> O	۱,۱۱	۱,۱۴	۱,۲۳	۱,۲۶	۰,۸۹	۱,۶۲	۱,۱۵
K <sub>2</sub> O	۰,۴۱	۰,۶۹	۰,۷۴	۰,۴۳	۰,۶۲	۰,۵۵	۰,۵۴
H <sub>2</sub> O*	۲,۰۲	۲,۰۳	۲,۰۴	۱,۹۶	۲,۰۲	۱,۹۸	۲,۰۵
مجموع	۱۰۰,۱۵	۱۰۰,۲۶	۱۰۰,۱۹	۱۰۰,۱۵	۹۹,۹۵	۹۹,۹۸	۱۰۰,۳۱
Si	۷,۷۰۳	۷,۴۲۳	۷,۳۵۹	۷,۴۱۹	۷,۶۵۹	۷,۴۹۹	۷,۴۵۸
Al <sup>IV</sup>	۰,۲۹۷	۰,۵۷۷	۰,۶۴۱	۰,۵۸۰	۰,۳۴۰	۰,۵۰۱	۰,۴۴۲
Al <sup>VI</sup>	۰,۲۶۲	۰,۲۵۰	۰,۲۴۰	۰,۳۸۷	۰,۱۶۹	۰,۳۳۱	۰,۲۳۰
Ti	۰,۱۲۸	۰,۰۵۰	۰,۱۳۹	۰,۱۱۴	۰,۰۶۹	۰,۱۲۴	۰,۰۹۸
Cr	.	.	.	.	.	.	.
Fe <sup>+3</sup>	۰,۲۲۲	۰,۵۴۶	۰,۵۴۹	۰,۴۸۱	۰,۵۶۳	۰,۳۱۷	۰,۶۸۳
Fe <sup>+2</sup>	۱,۰۳۱	۰,۸۹۴	۰,۷۸۱	۱,۰۵۲	۰,۷۸۹	۱,۱۱۶	۰,۷۰۰
Mn	۰,۰۰۴	۰,۰۲۳	۰,۰۰۹	۰,۰۳۴	۰,۰۰۸	۰,۰۴۶	۰,۰۱۴
Mg	۲,۳۵۳	۲,۲۳۵	۲,۲۸۰	۲,۹۵۱	۲,۳۹۹	۲,۹۵۵	۲,۲۷۴
Ca	۱,۵۸۹	۱,۶۱۹	۱,۵۵۰	۱,۵۳۸	۱,۵۵۵	۱,۵۲۷	۱,۵۰۹
Na	۰,۳۰۵	۰,۳۱۶	۰,۳۳۹	۰,۳۴۹	۰,۲۴۶	۰,۴۴۹	۰,۳۱۵
K	۰,۰۷۳	۰,۱۲۶	۰,۰۱۳	۰,۰۷۸	۰,۱۱۲	۰,۱۰۰	۰,۰۹۶
(Ca+Na)	۱,۸۹۵	۱,۹۳۵	۱,۸۸۸	۱,۸۸۸	۱,۸۰۰	۱,۹۷۷	۱,۸۲۴
(Na+K)	۰,۰۷۳	۰,۱۲۶	۰,۱۳۳	۰,۱۷۷	۰,۱۱۲	۰,۱۰۰	۰,۰۹۶

ادامه جدول ۳

موقعت	A.T.E.29.8	A.T.E.29.9	A.T.E.29.10	A.T.E.29.11	A.T.E.29.12	A.T.E.29.13	A.T.E.23.1	A.T.E.23.2
	N	34°59'54.7"	E	047°49'26.2"			گایرو	گایرو
SiO <sub>2</sub>	۵۲,۱۲	۵۲,۷۹	۵۲,۲۱	۵۳,۲۷	۵۳,۲۲	۵۱,۱۵	۵۳,۹۸	۵۴,۵۶
TiO <sub>2</sub>	۱,۰۶	۰,۳۵	۰,۸۴	۰,۷۰	۰,۲۵	۱,۰۱	۰,۵۳	۰,۳۶
Al <sub>2</sub> O <sub>3</sub>	۵,۳۷	۴,۸۲	۴,۷۷	۶,۰۲	۲,۱۹	۴,۴۹	۳,۷۰	۴,۵۶
Cr <sub>2</sub> O <sub>3</sub>	.	.	.	.	.	.	.	۰,۰۸
Fe <sub>2</sub> O <sub>3</sub>	۱,۶۲	۲,۰۹	۱,۸۳	۰,۵۶	۰,۷۸	۱,۳۹	۴,۷۰	۶,۸۴
FeO	۱۲,۶	۹,۵۹	۹,۵۳	۱۱,۶۵	۱۴,۳۷	۱۳,۳۹	۷,۹۵	۶,۶۲
MnO	۰,۵۲	۰,۱۸	۰,۳۰	۰,۱۵	.	۰,۲۵	۰,۳۹	۰,۲۰
MgO	۱۴,۰۰	۱۵,۰۵	۱۴,۵۴	۱۴,۱۱	۱۳,۴۴	۱۳,۷	۱۵,۱۴	۱۴,۳۸
CaO	۱۰,۷۴	۱۰,۷۶	۱۰,۲۶	۱۱,۰۴	۱۱,۸۴	۱۱,۶۸	۱۰,۸۸	۹,۶۱
Na <sub>2</sub> O	۰,۴۴	۱,۰۷	۱,۰۳	۰,۵۱	۰,۶۷	۰,۸۵	۰,۷۱	۰,۸۱
K <sub>2</sub> O	۰,۳۴	۰,۴۸	۰,۴۷	۰,۴۶	۰,۴۹	۰,۲۵	.	.
H <sub>2</sub> O*	۱,۹۹	۱,۹۸	۲,۰۴	۲,۰۳	۲,۷	۱,۹۹	۲,۰۴	۲,۰۵
مجموع	۱۰۰,۱۹	۱۰۰,۰۱	۹۹,۸۰	۱۰۰,۰۵	۱۰۰,۴۶	۹۹,۷۳	۱۰۰,۳۲	۱۰۰,۳۶
Si	۷,۶۰۵	۷,۵۴۹	۷,۵۸۸	۷,۵۹۱	۷,۶۸۷	۷,۴۵۸	۷,۶۳۷	۷,۶۶۱
Al <sup>IV</sup>	۰,۳۹۵	۰,۴۵۱	۰,۴۱۲	۰,۴۰۸	۰,۳۱۲	۰,۵۴۱	۰,۳۶۲	۰,۳۳۹
Al <sup>VI</sup>	۰,۵۱۱	۰,۴۸۱	۰,۳۹۱	۰,۴۰۲	۰,۲۲۹	۰,۲۲۹	۰,۲۵۵	۰,۴۱۵
Ti	۰,۱۱۳	۰,۰۳۸	۰,۰۹۰	۰,۰۷۵	۰,۰۲۷	۰,۱۱۰	۰,۰۵۶	۰,۰۳۸
Cr	.	.	.	.	.	.	.	۰,۰۰۸
Fe <sup>+3</sup>	۰,۱۷۴	۰,۳۳۲	۰,۱۹۶	۰,۰۶۰	۰,۰۸۴	۰,۱۵۳	۰,۵۰۱	۰,۷۲۴
Fe <sup>+2</sup>	۱,۴۴۴	۱,۱۴۸	۱,۱۳۷	۱,۳۸۹	۱,۷۳۶	۱,۶۳۳	۰,۹۴۲	۰,۷۷۸
Mn	۰,۰۶۲	۰,۰۲۱	۰,۰۳۸	۰,۰۱۸	.	۰,۰۳۱	۰,۰۴۷	۰,۰۲۴
Mg	۲,۶۹۲	۳,۱۰۰	۳,۱۴۸	۲,۸۰۵	۲,۹۲۲	۲,۸۴۲	۳,۱۹۴	۳,۰۱۱
Ca	۱,۶۴۸	۱,۶۴۸	۱,۵۶۷	۱,۶۸۵	۱,۸۳۳	۱,۸۲۵	۱,۶۴۹	۱,۴۴۶
Na	۰,۱۲۲	۰,۰۹۸	۰,۰۴۲۳	۰,۱۴۰	۰,۱۸۷	۰,۲۴۱	۰,۱۹۶	۰,۲۲۱
K	۰,۰۸۳	۰,۰۸۷	۰,۰۸۵	۰,۰۸۳	۰,۰۹۰	۰,۰۴۷	.	.
(Ca+Na)	۱,۷۷۰	۱,۹۴۶	۱,۹۹۰	۱,۸۲۶	۲	۲	۱,۸۴۵	۱,۶۶۸
(Na+K)	۰,۰۸۳	۰,۰۸۷	۰,۰۸۵	۰,۰۸۴	۰,۱۱۰	۰,۱۱۳	.	.

Calcic Amphiboles Diagram Parameters: CaB &gt; 1.5; [Na+K]A &lt; 0.5; CaA &lt; 0.5

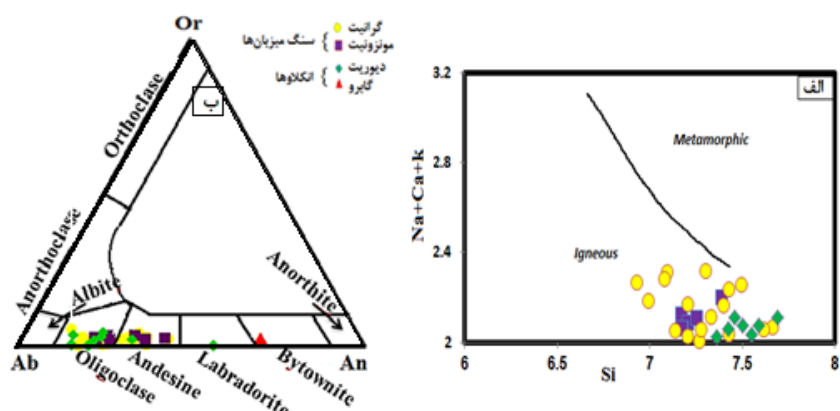


شکل ۵ کانی‌های آمفیبول در سنگ‌های سازنده توده نفوذی تکیه (جنوب قزوون) در نمودارهای رده‌بندی آمفیبول‌ها (الف تا پ) برگرفته از داده‌های

مرجع [۱۶] و ت) از مرجع [۱۷].

جدول ۴ نام و فرمول ساختاری آمفیبول‌های توده نفوذی تکیه بر پایه رده‌بندی مرجع [۱۵].

Spots	فرمول ساختاری	نام
A.T.H.29.1	(Na <sub>0.158</sub> K <sub>0.096</sub> ) <sub>0.254</sub> (Ca <sub>1.782</sub> Na <sub>0.218</sub> ) <sub>2.0</sub> (Al <sub>0.251</sub> Ti <sub>0.071</sub> Fe <sup>+</sup> <sub>30.073</sub> Mg <sub>3.138</sub> Fe <sup>+</sup> <sub>21.448</sub> Mn <sub>0.017</sub> Ca <sub>0.002</sub> ) <sub>5.0</sub> (Si <sub>7.497</sub> Al <sub>0.503</sub> ) <sub>8.0</sub> O <sub>22</sub> (OH) <sub>2</sub>	منیزیوهرنبلند
A.T.H.29.2	(Na <sub>0.000</sub> K <sub>0.103</sub> ) <sub>0.130</sub> (Ca <sub>1.619</sub> Na <sub>0.381</sub> ) <sub>2.0</sub> (Al <sub>0.038</sub> Ti <sub>0.155</sub> Fe <sup>+</sup> <sub>3.799</sub> Mg <sub>3.241</sub> Fe <sup>+</sup> <sub>20.702</sub> Mn <sub>0.064</sub> Ca <sub>0.001</sub> ) <sub>5.0</sub> (Si <sub>7.209</sub> Al <sub>0.791</sub> ) <sub>8.0</sub> O <sub>22</sub> (OH) <sub>2</sub>	منیزیوهرنبلند
A.T.H.29.3	(Na <sub>0.000</sub> K <sub>0.121</sub> ) <sub>0.121</sub> (Ca <sub>1.557</sub> Na <sub>0.443</sub> ) <sub>2.0</sub> (Al <sub>0.310</sub> Ti <sub>0.103</sub> Fe <sup>+</sup> <sub>3.456</sub> Mg <sub>3.047</sub> Fe <sup>+</sup> <sub>2.055</sub> Mn <sub>0.028</sub> Ca <sub>0.001</sub> ) <sub>5.0</sub> (Si <sub>7.484</sub> Al <sub>0.516</sub> ) <sub>8.0</sub> O <sub>22</sub> (OH) <sub>2</sub>	منیزیوهرنبلند
A.T.H.29.4	(Na <sub>0.000</sub> K <sub>0.114</sub> ) <sub>0.114</sub> (Ca <sub>1.598</sub> Na <sub>0.402</sub> ) <sub>2.0</sub> (Al <sub>0.433</sub> Ti <sub>0.046</sub> Fe <sup>+</sup> <sub>3.147</sub> Mg <sub>3.32</sub> Fe <sup>+</sup> <sub>1.284</sub> Mn <sub>0.057</sub> Ca <sub>0.001</sub> ) <sub>5.0</sub> (Si <sub>7.666</sub> Al <sub>0.334</sub> ) <sub>8.0</sub> O <sub>22</sub> (OH) <sub>2</sub>	اکتنولیت
A.T.H.29.5	(Na <sub>0.000</sub> K <sub>0.073</sub> ) <sub>0.073</sub> (Ca <sub>1.670</sub> Na <sub>0.330</sub> ) <sub>2.0</sub> (Al <sub>0.452</sub> Ti <sub>0.071</sub> Fe <sup>+</sup> <sub>3.042</sub> Mg <sub>3.129</sub> Fe <sup>+</sup> <sub>1.305</sub> Mn <sub>0.000</sub> Ca <sub>0.001</sub> ) <sub>5.0</sub> (Si <sub>7.701</sub> Al <sub>0.299</sub> ) <sub>8.0</sub> O <sub>22</sub> (OH) <sub>2</sub>	اکتنولیت
A.T.H.29.6	(Na <sub>0.079</sub> K <sub>0.187</sub> ) <sub>0.266</sub> (Ca <sub>1.700</sub> Na <sub>0.300</sub> ) <sub>2.0</sub> (Al <sub>0.287</sub> Ti <sub>0.116</sub> Fe <sup>+</sup> <sub>3.267</sub> Mg <sub>2.799</sub> Fe <sup>+</sup> <sub>1.166</sub> Mn <sub>0.028</sub> Ca <sub>0.337</sub> ) <sub>5.0</sub> (Si <sub>7.399</sub> Al <sub>0.601</sub> ) <sub>8.0</sub> O <sub>22</sub> (OH) <sub>2</sub>	منیزیوهرنبلند
A.T.H.29.7	(Na <sub>0.079</sub> K <sub>0.187</sub> ) <sub>0.266</sub> (Ca <sub>1.700</sub> Na <sub>0.300</sub> ) <sub>2.0</sub> (Al <sub>0.318</sub> Ti <sub>0.202</sub> Fe <sup>+</sup> <sub>3.378</sub> Mg <sub>2.799</sub> Fe <sup>+</sup> <sub>1.207</sub> Mn <sub>0.094</sub> Ca <sub>0.002</sub> ) <sub>5.0</sub> (Si <sub>6.932</sub> Al <sub>1.068</sub> ) <sub>8.0</sub> O <sub>22</sub> (OH) <sub>2</sub>	منیزیوهرنبلند
A.T.H.29.8	(Na <sub>0.000</sub> K <sub>0.081</sub> ) <sub>0.081</sub> (Ca <sub>1.789</sub> Na <sub>0.211</sub> ) <sub>2.0</sub> (Al <sub>0.385</sub> Ti <sub>0.076</sub> Fe <sup>+</sup> <sub>3.000</sub> Mg <sub>3.089</sub> Fe <sup>+</sup> <sub>1.393</sub> Mn <sub>0.056</sub> Ca <sub>0.001</sub> ) <sub>5.0</sub> (Si <sub>7.617</sub> Al <sub>0.385</sub> ) <sub>8.0</sub> O <sub>22</sub> (OH) <sub>2</sub>	اکتنولیت
A.T.H.29.9	(Na <sub>0.009</sub> K <sub>0.222</sub> ) <sub>0.231</sub> (Ca <sub>1.709</sub> Na <sub>0.291</sub> ) <sub>2.0</sub> (Al <sub>0.562</sub> Ti <sub>0.000</sub> Fe <sup>+</sup> <sub>3.067</sub> Mg <sub>3.221</sub> Fe <sup>+</sup> <sub>2.091</sub> Mn <sub>0.057</sub> Ca <sub>0.000</sub> ) <sub>5.0</sub> (Si <sub>7.429</sub> Al <sub>0.570</sub> ) <sub>8.0</sub> O <sub>22</sub> (OH) <sub>2</sub>	منیزیوهرنبلند
A.T.H.29.10	(Na <sub>0.034</sub> K <sub>0.148</sub> ) <sub>0.182</sub> (Ca <sub>1.502</sub> Na <sub>0.498</sub> ) <sub>2.0</sub> (Al <sub>0.237</sub> Ti <sub>0.135</sub> Fe <sup>+</sup> <sub>3.814</sub> Mg <sub>3.109</sub> Fe <sup>+</sup> <sub>2.620</sub> Mn <sub>0.083</sub> Ca <sub>0.002</sub> ) <sub>5.0</sub> (Si <sub>6.992</sub> Al <sub>1.007</sub> ) <sub>8.0</sub> O <sub>22</sub> (OH) <sub>2</sub>	منیزیوهرنبلند
A.T.H.29.11	(Na <sub>0.000</sub> K <sub>0.086</sub> ) <sub>0.086</sub> (Ca <sub>1.563</sub> Na <sub>0.437</sub> ) <sub>2.0</sub> (Al <sub>0.464</sub> Ti <sub>0.114</sub> Fe <sup>+</sup> <sub>3.509</sub> Mg <sub>3.041</sub> Fe <sup>+</sup> <sub>2.794</sub> Mn <sub>0.074</sub> Ca <sub>0.004</sub> ) <sub>5.0</sub> (Si <sub>7.415</sub> Al <sub>0.585</sub> ) <sub>8.0</sub> O <sub>22</sub> (OH) <sub>2</sub>	منیزیوهرنبلند
A.T.H.29.12	(Na <sub>0.014</sub> K <sub>0.154</sub> ) <sub>0.168</sub> (Ca <sub>1.529</sub> Na <sub>0.471</sub> ) <sub>2.0</sub> (Al <sub>0.100</sub> Ti <sub>0.167</sub> Fe <sup>+</sup> <sub>3.659</sub> Mg <sub>3.113</sub> Fe <sup>+</sup> <sub>2.918</sub> Mn <sub>0.04</sub> Ca <sub>0.003</sub> ) <sub>5.0</sub> (Si <sub>7.207</sub> Al <sub>0.793</sub> ) <sub>8.0</sub> O <sub>22</sub> (OH) <sub>2</sub>	منیزیوهرنبلند
A.T.H.29.13	(Na <sub>0.227</sub> K <sub>0.082</sub> ) <sub>0.309</sub> (Ca <sub>1.592</sub> Na <sub>0.408</sub> ) <sub>2.0</sub> (Al <sub>0.280</sub> Ti <sub>0.171</sub> Fe <sup>+</sup> <sub>3.380</sub> Mg <sub>2.969</sub> Fe <sup>+</sup> <sub>2.120</sub> Mn <sub>0.078</sub> Ca <sub>0.002</sub> ) <sub>5.0</sub> (Si <sub>7.094</sub> Al <sub>0.906</sub> ) <sub>8.0</sub> O <sub>22</sub> (OH) <sub>2</sub>	منیزیوهرنبلند
A.T.H.29.14	(Na <sub>0.000</sub> K <sub>0.092</sub> ) <sub>0.092</sub> (Ca <sub>1.557</sub> Na <sub>0.443</sub> ) <sub>2.0</sub> (Al <sub>0.273</sub> Ti <sub>0.149</sub> Fe <sup>+</sup> <sub>3.684</sub> Mg <sub>3.053</sub> Fe <sup>+</sup> <sub>2.745</sub> Mn <sub>0.094</sub> Ca <sub>0.002</sub> ) <sub>5.0</sub> (Si <sub>7.137</sub> Al <sub>0.863</sub> ) <sub>8.0</sub> O <sub>22</sub> (OH) <sub>2</sub>	منیزیوهرنبلند
A.T.H.29.15	(Na <sub>0.000</sub> K <sub>0.079</sub> ) <sub>0.079</sub> (Ca <sub>1.542</sub> Na <sub>0.458</sub> ) <sub>2.0</sub> (Al <sub>0.339</sub> Ti <sub>0.173</sub> Fe <sup>+</sup> <sub>3.502</sub> Mg <sub>3.108</sub> Fe <sup>+</sup> <sub>2.844</sub> Mn <sub>0.033</sub> Ca <sub>0.001</sub> ) <sub>5.0</sub> (Si <sub>7.269</sub> Al <sub>0.731</sub> ) <sub>8.0</sub> O <sub>22</sub> (OH) <sub>2</sub>	منیزیوهرنبلند
A.T.H.29.16	(Na <sub>0.215</sub> K <sub>0.066</sub> ) <sub>0.281</sub> (Ca <sub>1.899</sub> Na <sub>0.101</sub> ) <sub>2.0</sub> (Al <sub>0.215</sub> Ti <sub>0.142</sub> Fe <sup>+</sup> <sub>3.239</sub> Mg <sub>2.653</sub> Fe <sup>+</sup> <sub>2.169</sub> Mn <sub>0.059</sub> Ca <sub>0.002</sub> ) <sub>5.0</sub> (Si <sub>7.080</sub> Al <sub>0.920</sub> ) <sub>8.0</sub> O <sub>22</sub> (OH) <sub>2</sub>	منیزیوهرنبلند
A.T.H.29.17	(Na <sub>0.197</sub> K <sub>0.116</sub> ) <sub>0.313</sub> (Ca <sub>1.708</sub> Na <sub>0.292</sub> ) <sub>2.0</sub> (Al <sub>0.273</sub> Ti <sub>0.198</sub> Fe <sup>+</sup> <sub>3.002</sub> Mg <sub>2.936</sub> Fe <sup>+</sup> <sub>2.540</sub> Mn <sub>0.048</sub> Ca <sub>0.002</sub> ) <sub>5.0</sub> (Si <sub>7.303</sub> Al <sub>0.697</sub> ) <sub>8.0</sub> O <sub>22</sub> (OH) <sub>2</sub>	منیزیوهرنبلند
A.T.H.29.18	(Na <sub>0.000</sub> K <sub>0.055</sub> ) <sub>0.05</sub> (Ca <sub>1.582</sub> Na <sub>0.418</sub> ) <sub>2.0</sub> (Al <sub>0.339</sub> Ti <sub>0.142</sub> Fe <sup>+</sup> <sub>3.328</sub> Mg <sub>2.929</sub> Fe <sup>+</sup> <sub>2.193</sub> Mn <sub>0.067</sub> Ca <sub>0.002</sub> ) <sub>5.0</sub> (Si <sub>7.429</sub> Al <sub>0.571</sub> ) <sub>8.0</sub> O <sub>22</sub> (OH) <sub>2</sub>	منیزیوهرنبلند
A.T.H.29.19	(Na <sub>0.037</sub> K <sub>0.071</sub> ) <sub>0.108</sub> (Ca <sub>1.610</sub> Na <sub>0.390</sub> ) <sub>2.0</sub> (Al <sub>0.212</sub> Ti <sub>0.206</sub> Fe <sup>+</sup> <sub>3.320</sub> Mg <sub>3.071</sub> Fe <sup>+</sup> <sub>2.113</sub> Mn <sub>0.077</sub> Ca <sub>0.001</sub> ) <sub>5.0</sub> (Si <sub>7.33</sub> Al <sub>0.607</sub> ) <sub>8.0</sub> O <sub>22</sub> (OH) <sub>2</sub>	منیزیوهرنبلند
A.T.H.29.20	(Na <sub>0.000</sub> K <sub>0.064</sub> ) <sub>0.064</sub> (Ca <sub>1.539</sub> Na <sub>0.461</sub> ) <sub>2.0</sub> (Al <sub>0.246</sub> Ti <sub>0.179</sub> Fe <sup>+</sup> <sub>3.727</sub> Mg <sub>2.983</sub> Fe <sup>+</sup> <sub>2.835</sub> Mn <sub>0.027</sub> Ca <sub>0.001</sub> ) <sub>5.0</sub> (Si <sub>7.154</sub> Al <sub>0.846</sub> ) <sub>8.0</sub> O <sub>22</sub> (OH) <sub>2</sub>	منیزیوهرنبلند
A.T.H.29.21	(Na <sub>0.000</sub> K <sub>0.099</sub> ) <sub>0.099</sub> (Ca <sub>1.516</sub> Na <sub>0.484</sub> ) <sub>2.0</sub> (Al <sub>0.273</sub> Ti <sub>0.142</sub> Fe <sup>+</sup> <sub>3.591</sub> Mg <sub>2.979</sub> Fe <sup>+</sup> <sub>2.989</sub> Mn <sub>0.025</sub> Ca <sub>0.001</sub> ) <sub>5.0</sub> (Si <sub>7.280</sub> Al <sub>0.720</sub> ) <sub>8.0</sub> O <sub>22</sub> (OH) <sub>2</sub>	منیزیوهرنبلند
A.T.H.23.1	(Na <sub>0.121</sub> K <sub>0.000</sub> ) <sub>0.121</sub> (Ca <sub>1.792</sub> Na <sub>0.208</sub> ) <sub>2.0</sub> (Al <sub>0.246</sub> Ti <sub>0.129</sub> Fe <sup>+</sup> <sub>3.408</sub> Mg <sub>2.873</sub> Fe <sup>+</sup> <sub>2.135</sub> Mn <sub>0.017</sub> Ca <sub>0.001</sub> ) <sub>5.0</sub> (Si <sub>7.171</sub> Al <sub>0.829</sub> ) <sub>8.0</sub> O <sub>22</sub> (OH) <sub>2</sub>	منیزیوهرنبلند
A.T.H.23.2	(Na <sub>0.000</sub> K <sub>0.000</sub> ) <sub>0.000</sub> (Ca <sub>1.521</sub> Na <sub>0.479</sub> ) <sub>2.0</sub> (Al <sub>0.107</sub> Ti <sub>0.133</sub> Fe <sup>+</sup> <sub>3.867</sub> Mg <sub>3.165</sub> Fe <sup>+</sup> <sub>2.679</sub> Mn <sub>0.031</sub> Ca <sub>0.001</sub> ) <sub>5.0</sub> (Si <sub>7.234</sub> Al <sub>0.766</sub> ) <sub>8.0</sub> O <sub>22</sub> (OH) <sub>2</sub>	منیزیوهرنبلند
A.T.H.23.3	(Na <sub>0.000</sub> K <sub>0.000</sub> ) <sub>0.000</sub> (Ca <sub>1.639</sub> Na <sub>0.361</sub> ) <sub>2.0</sub> (Al <sub>0.325</sub> Ti <sub>0.120</sub> Fe <sup>+</sup> <sub>3.612</sub> Mg <sub>2.975</sub> Fe <sup>+</sup> <sub>2.926</sub> Mn <sub>0.039</sub> Ca <sub>0.000</sub> ) <sub>5.0</sub> (Si <sub>7.197</sub> Al <sub>0.803</sub> ) <sub>8.0</sub> O <sub>22</sub> (OH) <sub>2</sub>	منیزیوهرنبلند
A.T.H.23.4	(Na <sub>0.083</sub> K <sub>0.000</sub> ) <sub>0.083</sub> (Ca <sub>1.620</sub> Na <sub>0.380</sub> ) <sub>2.0</sub> (Al <sub>0.265</sub> Ti <sub>0.180</sub> Fe <sup>+</sup> <sub>3.459</sub> Mg <sub>2.861</sub> Fe <sup>+</sup> <sub>2.179</sub> Mn <sub>0.054</sub> Ca <sub>0.002</sub> ) <sub>5.0</sub> (Si <sub>7.208</sub> Al <sub>0.792</sub> ) <sub>8.0</sub> O <sub>22</sub> (OH) <sub>2</sub>	منیزیوهرنبلند
A.T.H.23.5	(Na <sub>0.000</sub> K <sub>0.000</sub> ) <sub>0.000</sub> (Ca <sub>1.505</sub> Na <sub>0.495</sub> ) <sub>2.0</sub> (Al <sub>0.269</sub> Ti <sub>0.167</sub> Fe <sup>+</sup> <sub>3.738</sub> Mg <sub>3.024</sub> Fe <sup>+</sup> <sub>2.802</sub> Mn <sub>0.000</sub> Ca <sub>0.000</sub> ) <sub>5.0</sub> (Si <sub>7.972</sub> Al <sub>0.728</sub> ) <sub>8.0</sub> O <sub>22</sub> (OH) <sub>2</sub>	منیزیوهرنبلند
A.T.H.23.6	(Na <sub>0.000</sub> K <sub>0.000</sub> ) <sub>0.000</sub> (Ca <sub>1.490</sub> Na <sub>0.510</sub> ) <sub>2.0</sub> (Al <sub>0.302</sub> Ti <sub>0.148</sub> Fe <sup>+</sup> <sub>3.709</sub> Mg <sub>2.983</sub> Fe <sup>+</sup> <sub>2.825</sub> Mn <sub>0.029</sub> Ca <sub>0.002</sub> ) <sub>5.0</sub> (Si <sub>7.273</sub> Al <sub>0.727</sub> ) <sub>8.0</sub> O <sub>22</sub> (OH) <sub>2</sub>	اکتنولیت
A.T.H.23.7	(Na <sub>0.058</sub> K <sub>0.000</sub> ) <sub>0.058</sub> (Ca <sub>1.576</sub> Na <sub>0.424</sub> ) <sub>2.0</sub> (Al <sub>0.138</sub> Ti <sub>0.151</sub> Fe <sup>+</sup> <sub>3.748</sub> Mg <sub>3.195</sub> Fe <sup>+</sup> <sub>2.727</sub> Mn <sub>0.05</sub> Ca <sub>0.004</sub> ) <sub>5.0</sub> (Si <sub>7.176</sub> Al <sub>0.824</sub> ) <sub>8.0</sub> O <sub>22</sub> (OH) <sub>2</sub>	منیزیوهرنبلند
A.T.H.23.8	(Na <sub>0.000</sub> K <sub>0.000</sub> ) <sub>0.000</sub> (Ca <sub>1.657</sub> Na <sub>0.343</sub> ) <sub>2.0</sub> (Al <sub>0.164</sub> Ti <sub>0.095</sub> Fe <sup>+</sup> <sub>3.566</sub> Mg <sub>3.031</sub> Fe <sup>+</sup> <sub>2.1074</sub> Mn <sub>0.028</sub> Ca <sub>0.001</sub> ) <sub>5.0</sub> (Si <sub>7.458</sub> Al <sub>0.542</sub> ) <sub>8.0</sub> O <sub>22</sub> (OH) <sub>2</sub>	منیزیوهرنبلند
A.T.H.23.9	(Na <sub>0.198</sub> K <sub>0.000</sub> ) <sub>0.198</sub> (Ca <sub>1.663</sub> Na <sub>0.337</sub> ) <sub>2.0</sub> (Al <sub>0.529</sub> Ti <sub>0.106</sub> Fe <sup>+</sup> <sub>3.007</sub> Mg <sub>2.748</sub> Fe <sup>+</sup> <sub>2.156</sub> Mn <sub>0.025</sub> Ca <sub>0.009</sub> ) <sub>5.0</sub> (Si <sub>7.389</sub> Al <sub>0.611</sub> ) <sub>8.0</sub> O <sub>22</sub> (OH) <sub>2</sub>	منیزیوهرنبلند
A.T.H.23.10	(Na <sub>0.106</sub> K <sub>0.000</sub> ) <sub>0.106</sub> (Ca <sub>1.654</sub> Na <sub>0.346</sub> ) <sub>2.0</sub> (Al <sub>0.213</sub> Ti <sub>0.134</sub> Fe <sup>+</sup> <sub>3.504</sub> Mg <sub>2.967</sub> Fe <sup>+</sup> <sub>2.1152</sub> Mn <sub>0.012</sub> Ca <sub>0.018</sub> ) <sub>5.0</sub> (Si <sub>7.253</sub> Al <sub>0.747</sub> ) <sub>8.0</sub> O <sub>22</sub> (OH) <sub>2</sub>	منیزیوهرنبلند
A.T.H.23.11	(Na <sub>0.061</sub> K <sub>0.000</sub> ) <sub>0.061</sub> (Ca <sub>1.563</sub> Na <sub>0.437</sub> ) <sub>2.0</sub> (Al <sub>0.221</sub> Ti <sub>0.148</sub> Fe <sup>+</sup> <sub>3.655</sub> Mg <sub>2.893</sub> Fe <sup>+</sup> <sub>2.1042</sub> Mn <sub>0.025</sub> Ca <sub>0.016</sub> ) <sub>5.0</sub> (Si <sub>7.174</sub> Al <sub>0.826</sub> ) <sub>8.0</sub> O <sub>22</sub> (OH) <sub>2</sub>	منیزیوهرنبلند
A.T.E.29.1	(Na <sub>0.000</sub> K <sub>0.073</sub> ) <sub>0.073</sub> (Ca <sub>1.589</sub> Na <sub>0.411</sub> ) <sub>2.0</sub> (Al <sub>0.262</sub> Ti <sub>0.128</sub> Fe <sup>+</sup> <sub>3.222</sub> Mg <sub>3.353</sub> Fe <sup>+</sup> <sub>2.1031</sub> Mn <sub>0.004</sub> Ca <sub>0.000</sub> ) <sub>5.0</sub> (Si <sub>7.703</sub> Al <sub>0.267</sub> ) <sub>8.0</sub> O <sub>22</sub> (OH) <sub>2</sub>	اکتنولیت
A.T.E.29.2	(Na <sub>0.000</sub> K <sub>0.126</sub> ) <sub>0.126</sub> (Ca <sub>1.619</sub> Na <sub>0.381</sub> ) <sub>2.0</sub> (Al <sub>0.250</sub> Ti <sub>0.050</sub> Fe <sup>+</sup> <sub>3.546</sub> Mg <sub>3.233</sub> Fe <sup>+</sup> <sub>2.894</sub> Mn <sub>0.023</sub> Ca <sub>0.002</sub> ) <sub>5.0</sub> (Si <sub>7.423</sub> Al <sub>0.577</sub> ) <sub>8.0</sub> O <sub>22</sub> (OH) <sub>2</sub>	منیزیوهرنبلند
A.T.E.29.3	(Na <sub>0.000</sub> K <sub>0.013</sub> ) <sub>0.013</sub> (Ca <sub>1.550</sub> Na <sub>0.450</sub> ) <sub>2.0</sub> (Al <sub>0.240</sub> Ti <sub>0.139</sub> Fe <sup>+</sup> <sub>3.549</sub> Mg <sub>3.280</sub> Fe <sup>+</sup> <sub>2.781</sub> Mn <sub>0.009</sub> Ca <sub>0.002</sub> ) <sub>5.0</sub> (Si <sub>7.359</sub> Al <sub>0.641</sub> ) <sub>8.0</sub> O <sub>22</sub> (OH) <sub>2</sub>	منیزیوهرنبلند
A.T.E.29.4	(Na <sub>0.000</sub> K <sub>0.078</sub> ) <sub>0.078</sub> (Ca <sub>1.538</sub> Na <sub>0.462</sub> ) <sub>2.0</sub> (Al <sub>0.367</sub> Ti <sub>0.114</sub> Fe <sup>+</sup> <sub>3.481</sub> Mg <sub>2.951</sub> Fe <sup>+</sup> <sub>2.1052</sub> Mn <sub>0.034</sub> Ca <sub>0.001</sub> ) <sub>5.0</sub> (Si <sub>7.419</sub> Al <sub>0.581</sub> ) <sub>8.0</sub> O <sub>22</sub> (OH) <sub>2</sub>	منیزیوهرنبلند
A.T.E.29.5	(Na <sub>0.000</sub> K <sub>0.112</sub> ) <sub>0.112</sub> (Ca <sub>1.555</sub> Na <sub>0.445</sub> ) <sub>2.0</sub> (Al <sub>0.169</sub> Ti <sub>0.069</sub> Fe <sup>+</sup> <sub>3.563</sub> Mg <sub>3.399</sub> Fe <sup>+</sup> <sub>2.789</sub> Mn <sub>0.008</sub> Ca <sub>0.003</sub> ) <sub>5.0</sub> (Si <sub>7.659</sub> Al <sub>0.341</sub> ) <sub>8.0</sub> O <sub>22</sub> (OH) <sub>2</sub>	اکتنولیت
A.T.E.29.6	(Na <sub>0.000</sub> K <sub>0.100</sub> ) <sub>0.100</sub> (Ca <sub>1.527</sub> Na <sub>0.473</sub> ) <sub>2.0</sub> (Al <sub>0.501</sub> Ti <sub>0.124</sub> Fe <sup>+</sup> <sub>3.317</sub> Mg <sub>2.955</sub> Fe <sup>+</sup> <sub>2.1186</sub> Mn <sub>0.046</sub> Ca <sub>0.041</sub> ) <sub>5.0</sub> (Si <sub>7.499</sub> Al <sub>0.501</sub> ) <sub>8.0</sub> O <sub>22</sub> (OH) <sub>2</sub>	منیزیوهرنبلند
A.T.E.29.7	(Na <sub>0.000</sub> K <sub>0.096</sub> ) <sub>0.096</sub> (Ca <sub>1.509</sub> Na <sub>0.491</sub> ) <sub>2.0</sub> (Al <sub>0.542</sub> Ti <sub>0.098</sub> Fe <sup>+</sup> <sub>3.683</sub> Mg <sub>3.274</sub> Fe <sup>+</sup> <sub>2.700</sub> Mn <sub>0.014</sub> Ca <sub>0.001</sub> ) <sub>5.0</sub> (Si <sub>7.548</sub> Al <sub>0.542</sub> ) <sub>8.0</sub> O <sub>22</sub> (OH) <sub>2</sub>	منیزیوهرنبلند
A.T.E.29.8	(Na <sub>0.000</sub> K <sub>0.063</sub> ) <sub>0.063</sub> (Ca <sub>1.648</sub> Na <sub>0.352</sub> ) <sub>2.0</sub> (Al <sub>0.511</sub> Ti <sub>0.113</sub> Fe <sup>+</sup> <sub>3.174</sub> Mg <sub>2.692</sub> Fe <sup>+</sup> <sub>2.144</sub> Mn <sub>0.062</sub> Ca <sub>0.004</sub> ) <sub>5.0</sub> (Si <sub>7.605</sub> Al <sub>0.395</sub> ) <sub>8.0</sub> O <sub>22</sub> (OH) <sub>2</sub>	اکتنولیت
A.T.E.29.9	(Na <sub>0.000</sub> K <sub>0.087</sub> ) <sub>0.087</sub> (Ca <sub>1.648</sub> Na <sub>0.352</sub> ) <sub>2.0</sub> (Al <sub>0.361</sub> Ti <sub>0.038</sub> Fe <sup>+</sup> <sub>3.332</sub> Mg <sub>3.100</sub> Fe <sup>+</sup> <sub>2.1148</sub> Mn <sub>0.021</sub> Ca <sub>0.000</sub> ) <sub>5.0</sub> (Si <sub>7.549</sub> Al <sub>0.451</sub> ) <sub>8.0</sub> O <sub>22</sub> (OH) <sub>2</sub>	اکتنولیت
A.T.E.29.10	(Na <sub>0.000</sub> K <sub>0.085</sub> ) <sub>0.085</sub> (Ca <sub>1.567</sub> Na <sub>0.433</sub> ) <sub>2.0</sub> (Al <sub>0.391</sub> Ti <sub>0.090</sub> Fe <sup>+</sup> <sub>3.196</sub> Mg <sub>3.148</sub> Fe <sup>+</sup> <sub>2.1137</sub> Mn <sub>0.038</sub> Ca <sub>0.000</sub> ) <sub>5.0</sub> (Si <sub>7.588</sub> Al <sub>0.412</sub> ) <sub>8.0</sub> O <sub>22</sub> (OH) <sub>2</sub>	اکتنولیت
A.T.E.29.11	(Na <sub>0.000</sub> K <sub>0.083</sub> ) <sub>0.083</sub> (Ca <sub>1.685</sub> Na <sub>0.315</sub> ) <sub>2.0</sub> (	



شکل ۶ (الف) تفکیک آمفیبول‌های برآمده از فرایندهای آذرین و دگرگونی به روش مرجع [۱۸]، (ب) ترکیب پلازیوکلازهای سنگ‌های منطقه در نمودار سه‌تایی مرجع [۲۰].

جدول ۵ نتایج و تجزیه نقطه‌ای پلازیوکلازها در گرانیت‌ها (محاسبه کاتیون‌ها بر اساس آکسیژن).

نمونه	SiO <sub>2</sub>	Al <sub>2</sub> O <sub>3</sub>	FeO	CaO	Na <sub>2</sub> O	K <sub>2</sub> O	Total	Si	Al	Fe <sup>3+</sup>	Ca	Na	K	Ab	An	Or
A.T.29.H.A ل	62.56	22.42	0.23	4.70	8.78	0.40	100.6	2.771	1.223	0.08	0.223	0.753	0.023	75.5	22.3	2.3
A.T.29.H.B	62.96	22.79	0.18	4.10	9.32	0.23	99.97	2.795	1.22	0.07	0.195	0.794	0.13	79.2	19.4	1.3
A.T.29.H.C	63.50	22.66	0.12	3.88	9.35	0.28	99.79	2.813	1.183	0.05	0.184	0.803	0.016	80.1	18.4	1.6
A.T.29.H.D	62.40	22.76	0.3	5.15	8.57	0.26	99.81	2.756	1.244	0.01	0.245	0.738	0.015	74.0	22.6	1.5
A.T.29.H.E	60.32	24.51	0.46	6.36	7.76	0.42	99.83	2.694	1.290	0.17	0.304	0.672	0.024	87.2	30.4	2.4
A.T.29.H.F	58.81	25.22	0.34	6.80	7.69	0.20	100.12	2.665	1.322	0.13	0.299	0.660	0.012	66.0	22.9	1.2
A.T.29.H.G	59.24	25.03	0.55	7.73	7.73	0.39	100.31	2.641	1.341	0.21	0.352	0.625	0.022	62.5	25.1	2.2
A.T.29.H.H	60.31	24.66	0.62	6.52	7.63	0.53	100.27	2.685	1.294	0.23	0.311	0.659	0.030	65.9	21.1	2.0
A.T.29.H.I	59.00	25.69	0.4	7.52	7.08	0.45	99.78	2.642	1.358	0.02	0.361	0.614	0.025	61.4	36.1	2.5
A.T.29.H.J	58.39	26.36	0.0	7.73	7.73	0.08	99.78	2.614	1.391	0.00	0.371	0.627	0.004	62.6	37.1	0.4
A.T.29.H.K	61.75	22.75	0.12	5.14	8.45	0.48	99.89	2.757	1.246	0.04	0.245	0.730	0.021	72.8	22.5	2.7
A.T.29.H.A ل	62.86	22.13	0.51	4.46	9.20	0.00	100.7	2.781	1.208	0.15	0.116	0.877	0.006	78.9	21.1	0.0
A.T.29.H.B	61.80	22.78	0.19	5.23	8.74	0.00	99.74	2.747	1.246	0.07	0.249	0.753	0.000	75.2	24.8	0.0
A.T.29.H.C	62.86	22.14	0.00	4.28	8.57	0.95	99.90	2.790	1.211	0.00	0.208	0.728	0.045	72.8	20.8	0.4
A.T.29.H.D	62.90	22.19	0.07	4.40	9.18	0.40	99.78	2.787	1.211	0.30	0.209	0.789	0.002	78.9	20.9	0.2
A.T.29.H.E	62.01	22.1	0.12	4.49	9.15	0.4	99.82	2.792	1.202	0.00	0.213	0.786	0.002	78.5	21.3	0.2
A.T.29.H.F	62.32	22.51	0.62	4.16	9.17	0.31	100.9	2.807	1.177	0.33	0.197	0.787	0.017	78.6	19.7	1.7
A.T.29.H.A	64.22	22.21	0.44	3.68	9.65	0.03	100.33	2.821	1.152	0.16	0.174	0.823	0.002	82.4	17.2	0.2
A.T.29.H.B	63.69	22.48	0.14	3.67	9.28	0.49	99.75	2.822	1.177	0.05	0.174	0.798	0.024	79.8	17.4	2.8
A.T.29.H.C	63.16	22.92	0.36	4.36	9.11	0.26	100.18	2.792	1.194	0.13	0.207	0.781	0.015	77.9	20.6	1.5
A.T.29.H.D	63.74	22.84	0.00	3.93	9.39	0.24	100.13	2.812	1.187	0.00	0.186	0.803	0.012	80.1	18.6	1.3
A.T.23.H.A ل	62.74	22.22	0.00	4.65	8.86	0.46	99.65	2.787	1.217	0.00	0.197	0.787	0.017	76.4	22.1	1.5
A.T.23.H.B	61.02	24.52	0.00	5.81	8.39	0.00	99.74	2.716	1.284	0.00	0.000	0.000	0.000	72.3	27.7	0.0
A.T.23.H.C	61.64	24.14	0.00	5.44	8.42	0.28	99.92	2.728	1.263	0.00	0.000	0.000	0.000	72.5	25.9	1.6
A.T.23.H.D	58.99	25.89	0.00	7.45	7.18	0.36	99.87	2.638	1.364	0.00	0.000	0.000	0.000	62.2	35.7	2.1
A.T.23.H.E	57.74	24.88	0.00	8.60	6.49	0.39	99.83	2.580	1.422	0.00	0.000	0.000	0.000	56.4	41.4	2.2
A.T.23.H.A	62.70	22.94	0.00	4.65	8.86	0.46	99.65	2.787	1.217	0.00	0.000	0.000	0.000	76.4	22.1	1.5
A.T.23.H.B	61.20	24.52	0.00	5.81	8.39	0.00	99.74	2.716	1.284	0.00	0.000	0.000	0.000	72.3	27.7	0.0
A.T.23.H.C	61.64	24.14	0.00	5.44	8.42	0.28	99.92	2.728	1.263	0.00	0.000	0.000	0.000	72.5	25.9	1.6
A.T.23.H.D	58.99	25.89	0.00	7.45	7.18	0.36	99.87	2.638	1.364	0.00	0.000	0.000	0.000	62.2	35.7	2.1
A.T.23.H.E	57.74	24.88	0.00	8.60	6.49	0.39	99.83	2.580	1.422	0.00	0.000	0.000	0.000	56.4	41.4	2.2
A.T.23.H.A	62.70	22.94	0.00	4.65	8.86	0.46	99.65	2.787	1.217	0.00	0.000	0.000	0.000	76.4	22.1	1.5
A.T.23.H.B	63.62	22.16	0.15	4.62	8.78	0.28	99.89	2.782	1.212	0.00	0.199	0.787	0.025	73.6	21.9	4.4
A.T.23.H.C	61.61	22.80	0.30	5.39	8.16	0.27	99.97	2.741	1.224	0.11	0.000	0.000	0.000	70.3	25.7	4.1
A.T.23.H.D	62.80	22.32	0.17	4.57	9.14	0.20	100.12	2.777	1.210	0.10	0.000	0.000	0.000	78.3	21.6	0.1
A.T.23.H	62.47	22.43	0.00	4.67	8.41	0.46	99.94	2.775	1.226	0.00	0.000	0.000	0.000	72.3	22.2	0.4
A.T.29.E.A ل	63.02	22.86	0.57	4.01	9.10	0.43	99.85	2.797	1.184	0.21	0.194	0.783	0.025	78.2	19.4	2.5
A.T.29.E.B	62.75	22.56	0.00	4.65	8.76	0.53	100.25	2.774	1.228	0.00	0.220	0.751	0.030	75.0	22.0	2.0
A.T.29.E.C	62.50	22.61	0.00	4.81	8.60	0.58	100.18	2.769	1.223	0.00	0.228	0.739	0.031	74.0	22.9	2.1
A.T.29.E.D	63.01	22.96	0.29	4.45	9.02	0.24	99.97	2.791	1.193	0.11	0.211	0.775	0.014	77.5	21.1	1.4
A.T.29.E.A	63.23	22.87	0.29	4.28	9.22	0.00	99.72	2.810	1.184	0.11	0.203	0.794	0.001	79.6	20.4	0.1
A.T.29.E.B	64.38	21.94	0.14	3.68	9.58	0.28	99.73	2.850	1.145	0.05	0.145	0.822	0.025	82.0	14.5	2.5
A.T.29.E.C	62.61	22.55	0.15	4.63	8.88	0.35	100.16	2.777	1.224	0.05	0.219	0.762	0.020	76.1	21.9	1.9
A.T.29.E.D	61.66	22.16	1.44	5.28	8.31	0.54	100.29	2.741	1.208	0.00	0.252	0.716	0.031	71.7	25.2	2.1
A.T.23.E.A ل	62.66	22.25	0.22	4.75	8.98	0.06	99.92	2.777	1.214	0.08	0.000	0.000	0.000	77.1	22.5	0.3
A.T.23.E.B	62.97	22.07	0.23	4.36	8.94	0.43	100.01	2.789	1.204	0.08	0.000	0.000	0.000	76.8	21.7	2.4
A.T.23.E.C	65.72	21.84	0.35	10.07	5.69	0.31	99.91	2.510	1.471	0.13	0.000	0.000	0.000	49.7	F4.8	1.8
A.T.23.E.D	60.22	24.71	0.16	6.39	7.31	1.10	99.93	2.693	1.301	0.06	0.000	0.000	0.000	63.2	30.5	8.3
A.T.23.E.A	51.96	24.06	0.25	13.17	4.06	0.00	100.01	2.258	1.634	0.01	0.000	0.000	0.000	35.8	44.2	0.0
A.T.23.E.B	50.83	21.16	0.26	14.12	3.32	0.24	99.73	2.212	1.672	0.14	0.000	0.000	0.000	29.4	59.2	1.4
A.T.23.E.C	51.02	20.51	0.81	13.59	2.81	0.46	99.75	2.231	1.646	0.23	0.000	0.000	0.000	30.8	66.5	2.7
A.T.23.EA	63.13	22.79	0.31	4.21	9.20	0.18	99.82	2.798	1.191	0.12	0.000	0.000	0.000	79.0	20.0	1.0
A.T.23.E.B	60.07	24.46	0.55	6.48	7.87	0.07	99.51	2.689	1.291	0.20	0.000	0.000	0.000	68.4	31.1	0.4
A.T.23.E.C	61.42	22.03	0.39	5.79	8.30	0.12	100.05	2.728	1.258	0.14	0.000	0.000	0.000	71.7	27.8	.

الف).

### ارزیابی و سنجش شرایط تبلور ماقما

برآورد فشار-دما و نیز گریزندگی اکسیژن در سامانه‌های ماقمایی بر پایه کانی آمفیبیول روش متداولی است [۳۰]. کانی آمفیبیول از آنجا که در توده نفوذی تکیه فراوانی بالای دارد، برای زمین دما- فشارسنجی و محاسبه گریزندگی اکسیژن به کار می‌رود. نکته‌ی مهم این است که در محاسبات زمین دما- فشارسنجی نباید از آمفیبیول‌های با ترکیب اکتینولیتی استفاده کرد زیرا آنها ناشی از تغییرات ثانویه هستند و بر اثر فرایندهای زیر خط انجماد به وجود می‌آیند. در این پژوهش نیز آمفیبیول گابروها و برخی از دیوریت‌ها ترکیب اکتینولیتی دارند و برای محاسبات زمین دما فشارسنجی در نظر گرفته نشدند.

### برآورد فشار

فراوانی آلومینیم در آمفیبیول می‌تواند نقش مهمی در سنجش فشار تبلور توده‌های نفوذی داشته باشد و ژرفای جایگیری این مجموعه‌ها را روشن کند [۳۱]. کانی آمفیبیول به طور گسترده‌ای در این زمینه به کار برده شده است [۳۲-۳۶].

چند واسنجی برای فشارسنجی بر پایه روش "آلومینیم در هورنبلند" پیشنهاد شده‌اند: [۳۰-۳۲]

$$P(\pm 3\text{kbar}) = -3.92 + 5.03 \text{Al}_{\text{total}}, r^2 = 0.80 \quad (1)$$

$$P(\pm 1\text{kbar}) = -4.76 + 5.64 \text{Al}_{\text{total}}, r^2 = 0.97 \quad (2)$$

$$P(\pm 0.5\text{kbar}) = -3.46 + 4.23 \text{Al}_{\text{total}}, r^2 = 0.99 \quad (3)$$

(Schmidt, 1992)

$P(\pm 0.6\text{kbar}) = -3.01 + 4.76 \text{Al}_{\text{total}}, r^2 = 0.99$   
برآورد فشار یک توده نفوذی آهکی قلیایی بر اساس مقدار Al در آمفیبیول آن نشان می‌دهد که فشار تعادل به دست آمده از فشارسنجی آمفیبیول و سنگ‌های میزبان مشابه هم هستند و نیز فشار تعادل به دست آمده از آمفیبیول مانند فشار جایگزینی توده نفوذی است [۳۷]. این فرضیه‌ها را بسیاری از پژوهشگران پیشنهاد کرده‌اند [۳۸-۴۰]. فشار به دست آمده به عواملی چون جانشینی یون‌ها در آمفیبیول، گریزندگی اکسیژن، مواد فرار و ترکیب ماقما وابسته است. مقدار Al در آمفیبیول زمانی برای فشارسنجی گرانیت‌های کاربردی است که مجموعه کانی‌های کوارتز، پلازیوکلاز، فلدسپار پنتاسیم، بیوتیت، آمفیبیول، اسفن و مگنتیت و یا ایلمنیت در سنگ حضور داشته باشند، زیرا آن‌ها تغییر ترکیبی را آشکارا کم می‌کنند [۳۹]. بر اساس این روش‌ها، فشار برای سنگ‌های میزبان  $3-3.62$  کیلوبار و برای برونوهم‌ها  $0.8-1.21$  کیلوبار به دست آمد.

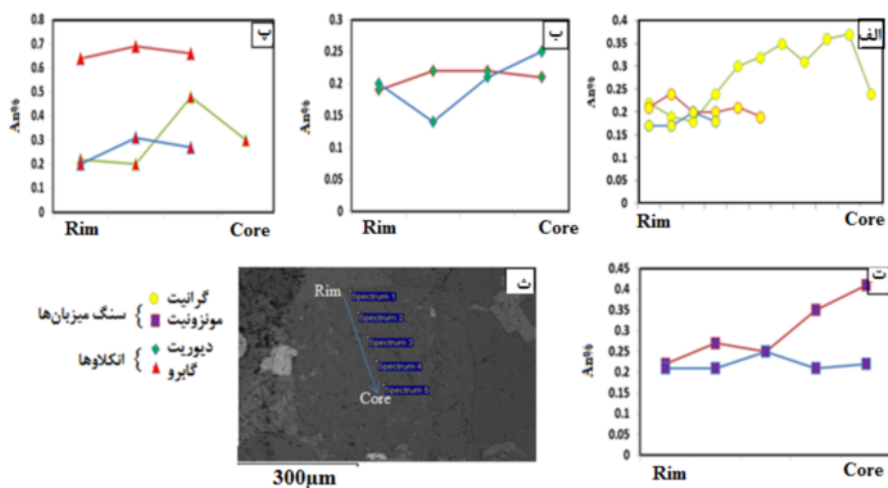
نتایج تجزیه ریزپردازشی الکترونی بلورهای پلازیوکلاز در سنگ‌های گوناگون توده نفوذی تکیه در جدول ۵ آورده شده‌اند.

### بحث

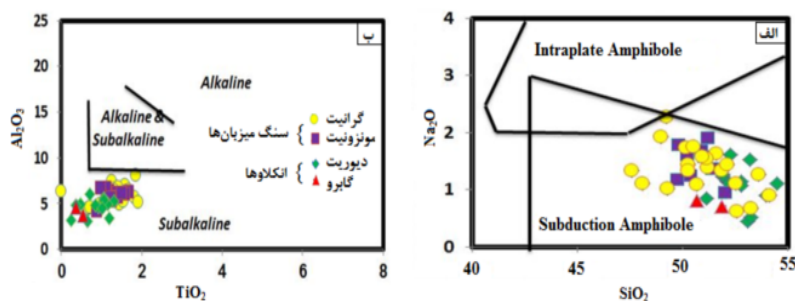
برای پیدایش منطقه‌بندی به ویژه منطقه‌بندی نوسانی در بلورهای پلازیوکلاز دلایلی چون تغییر ترکیب شیمیایی ماقما [۲۱]، آمیختگی ماقمایی [۲۲] و تغییر سرعت انتشار ترکیب‌های سازنده کانی نسبت به سطح بلور [۲۳] بیان می‌شود. تغییرات فشار آب نیز دلیلی دیگر برای منطقه‌بندی در پلازیوکلازهاست [۲۴]، زیرا کاهش فشار ناشی از جایگیری ماقما در مخزن پوسته‌ای موجب افزایش و خروج سریع بخارها و منفی شدن شب منحنی‌های انجماد گردیده و شرایط برای تبلور قشرهای کلسیمی فراهم می‌شود و سرانجام قشرهای سدیمی در معرض اتحلال قرار می‌گیرند [۲۵]. چنان که پیشتر بیان شد، نمونه‌های مورد بررسی به منطقه‌ی فرورانشی وابسته هستند؛ بنابراین آزاد شدن آب از ورقه فرورونده با افزایش فشار و حضور رسوب‌ها و پیشرفت واکنش‌های دگرگونی بر شرایط فیزیکوشیمیایی محیط تشکیل کانی‌ها موثر بوده است [۲۶]. از طرف دیگر، با توجه به نقش ترکیب‌های پوسته‌ای در تشکیل آنها، این طور به نظر می‌رسد که تغییرات شیمیایی ماقما و تغییرات گریزندگی اکسیژن به احتمال بسیار در تغییرات ترکیب و منطقه‌بندی در پلازیوکلازها نقش مهمی داشته‌اند.

### محیط زمین‌ساختی و خاستگاه ماقما

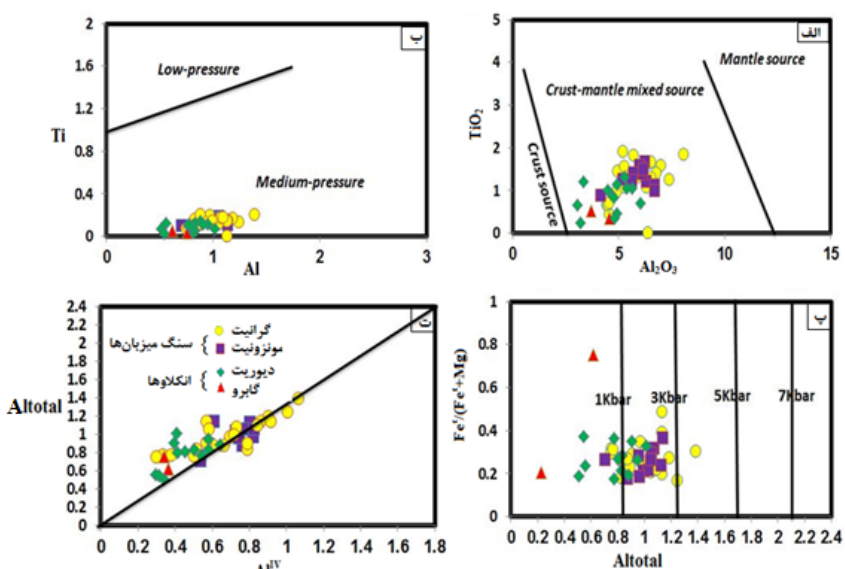
از ترکیب شیمیایی آمفیبیول برای تشخیص محیط زمین‌ساختی، بویژه تفکیک محیط فرورانشی از محیط درون صفحه‌ای استفاده شده است [۲۷]. با توجه به این تقسیم‌بندی و بر پایه مقدار  $\text{Na}_2\text{O}$  و  $\text{SiO}_2$  در آمفیبیول‌های سنگ‌های مورد بررسی، ارتباط آنها با محیط زمین‌ساختی فرورانشی روشن می‌شود (شکل ۸ الف). بر اساس نمودار  $\text{TiO}_2$  نسبت به  $\text{Al}_2\text{O}_3$  (شکل ۸) [۲۸]، سرشت نیمه قلیایی آمفیبیول‌ها مشخص است. چنانکه در شکل ۸ ب دیده می‌شود، با توجه به مقادیر اکسیدهای یاد شده، آمفیبیول‌های مورد بررسی ماهیت نیمه قلیایی دارند. ترکیب شیمیایی کانی‌هایی چون آمفیبیول و بیوتیت نیز راهنمای مناسبی برای تعیین خاستگاه ماقما محسوب می‌شوند. بر پایه فراوانی اکسیدهای تیتانیوم و آلومینیوم موجود در آمفیبیول، خاستگاه‌های پوسته‌ای و گوشته‌ای تفکیک شده است [۲۹]. بر اساس نمودار  $\text{TiO}_2$  نسبت به  $\text{Al}_2\text{O}_3$  (بر حسب درصد اکسید)، ترکیب آمفیبیول‌ها نشان‌گر دلالت ماقمای گوشته‌ای و ترکیب‌های پوسته‌ای در تشکیل آنهاست (شکل ۹)



شکل ۷ (الف) تصویر الکترونی پس پراکنده (BSE) از کانی پلاژیوکلاز در سنگ میزان مونزونیتی. پیکان مسیر تجزیه را از لبه تا مرکز کانی نشان می‌دهد، ب تا (ث) الگوی منطقه‌بندی کانی‌های پلاژیوکلاز در سنگ‌های منطقه مورد بررسی بر اساس تغییرات آنورتیت از لبه به مرکز کانی‌های پلاژیوکلاز.



شکل ۸ (الف) نمودار  $\text{Na}_2\text{O}$  نسبت به  $\text{Al}_2\text{O}_3$  بیانگر تشکیل آمفیبول‌های مورد بررسی در محیط وابسته به فرونش است [۲۷]، ب) نمودار  $\text{Na}_2\text{O}$  نسبت به  $\text{TiO}_2$  که براساس آن، ارزیابی ماهیت سنگ‌های توده نفوذی تکیه ماهیت نیمه قلبی دارد [۲۸].



شکل ۹ (الف) نمودار  $\text{TiO}_2$  نسبت به  $\text{Al}_2\text{O}_3$  که بیانگر حاکی از ترکیب ماغمای گوشته‌ای با مواد پوسته‌ای در تشکیل آمفیبول‌هاست [۲۹]، ب) نمودار  $\text{Ti}-\text{Al}$  که نشان دهنده‌ی تشکیل آمفیبول در فشارهای متوسط است [۴۰]، پ) نمودار  $\text{Fe}^{\text{t}}/(\text{Fe}^{\text{t}}+\text{Mg})$  نسبت به  $\text{Al}^{\text{t}}$  که گستره‌ی فشار تشکیل آمفیبول‌ها را نشان می‌دهد [۴۱]، ت) هم‌خوانی خطی  $\text{Al}_{\text{t}}$  و  $\text{Al}^{\text{IV}}$  در آمفیبول‌های نمونه‌های مورد بررسی [۳۰]. این روند خطی نشان می‌دهد که نمونه‌های مورد بررسی برای زمین فشار سنجی مناسب هستند.

بر این اساس، دمای تعادل بلورهای آمفیبیول و پلازیکلاز همزیست برای برونیوم ها و سنگ میزبان توده نفوذی تکیه به ترتیب ۷۴۲-۵۹۲ و ۵۹۴-۶۶۰ درجه سانتیگراد محاسبه شد.

به نظر برخی از پژوهشگران [۴۵]، وقتی فشار برآورد شده با یک زمین فشارسنج در یک زمین دماسنچ قرار داده شود، دما در یک گستره نوسان داشته و مقادیر دمای محاسبه شده دقت خوبی ندارند. این در حالی است که اگر روابط در نموداری رسم شوند، منحنی یا خط زمین دماسنچ دارای تغییرات  $dP/dT$  کم و منحنی یا خط زمین فشارسنج دارای تغییرات  $dP/dT$  زیاد است. به بیان دیگر، زمین دماسنچ ها نسبت به دما و زمین فشارسنج ها نسبت به فشار حساس هستند. بنابراین این دو منحنی را در یک نقطه قطع می کنندکه محل این تقاطع به خوبی و با دقت بیشتری فشار و دمای تبلور نقطه تجزیه شده را نشان می دهد. سرانجام دما و فشار نمونه ها با استفاده از روش مرجع [۴۵] نیز به دست آمد که نتایج با مقادیر سایر روش های فشارسنجی و دماسننجی همخوانی دارد.

بر اساس این روش، دمای ۵۸۶-۷۳۶ درجه سانتیگراد برای برونیوم ها و ۵۷۵-۷۲۴ درجه سانتیگراد برای سنگ های میزبان محاسبه شد. فشار و دماهای به دست آمده از روش های مختلف برای توده نفوذی تکیه در جدول ۶ آورده شده است. برای مثال، نتیجه محاسبه برای یک سنگ میزبان گرانیتی در شکل ۱۰ نشان داده شده است، که تاییدی بر نتایج جدول ۶ است.

## گریزندگی، اکسیژن در آمفیبول‌ها

گریزندگی اکسیژن از جمله عوامل اثر گذار بر مجموعه کانی-های سنگ است. گریزندگی اکسیژن اولیه‌ی یک مagma به ماهیت مواد خاستگاه آن بستگی دارد که خود تابعی از جایگاه زمین ساختی آن است [۴۰]. مagmaهای با درجه‌ی اکسایشی بالاتر اغلب مرزهای صفحه‌های همگرا همراه هستند [۴۷]. برای تعیین گریزندگی اکسیژن به عنوان اصلی‌ترین فاز گازی همراه با هیدروژن در سنگ‌های دارای کانی‌های آبدار، استفاده از ترکیب شیمیایی کانی‌های اکسیدی و آمفیبیول معمول است [۴۸]. آمفیبیول‌ها کانی‌های مهمی برای شناسایی شرایط گریزندگی اکسیژن از Magma هستند [۴۹]. حضور آمفیبیول‌های سرشار از Mg نشان دهنده‌ی magmaهای کمابیش اکسایشی است. به بیان دیگر، گریزندگی اکسیژن اثر مهمی بر شیمی آمفیبیول و به ویژه شیمی آمفیبیول‌های کلسیمی دارد، به طوری که با افزایش گریزندگی اکسیژن، بلورهای آمفیبیول در حال تبلور از magma به طور مدام از منیزیوم غنی‌تر می‌شوند [۵۰]. حضور کانی اسفن و مگنتیت شکل‌دار به صورت فازهای متبلور

از آنجا که روش پیشنهادی اندرسن و اسمیت [۴۱] دقیق‌تر است و در این واسنگی، اثر دما بر فشار به دست آمده در نظر گرفته می‌شود، سرانجام این رابطه برای محاسبه فشار به کار برده شد.

$$P(\pm 0.6 \text{ kbar}) = 4.76 Al^t - 3.01 - \{[T(^0C) - 675]/85\} * \{0.530Al^t + 0.005294 [T(^0C) - 675]\} (4)$$

دمای مورد نیاز برای این فشارسنجی از روش دماسنجدی هورنبلند-پلاژیوکلاز [۴۳] بدست آمد. بر این اساس فشار تشکیل آمفیبیول‌های سنگ میزان و برونویوم به ترتیب برابر با ۳۶۲، ۱۰۳ و ۰،۲۲ کیلوبار براورد شد. چنان که دیده می‌شود، با در نظر گرفتن اینکه هر یک کیلوبار فشار معادل ۳/۷ کیلومتر در پوسته قاره‌ای است [۴۴]، این مقدار فشار معادل با ژرفای نزدیک به کمتر از ۱۵ کیلومتر تا شرایط نزدیک به سطح زمین است. آمفیبیول‌ها بر پایه نمودار  $TiAl$  [۴۰] در بخش فشارهای متوسط قرار دارند (شکل ۹ ب)، در حالی که مقدار  $Al^I$  و  $(Fe^I/(Fe^I+Mg)$  بیشترین گستره‌ی فشار تشکیل آمفیبیول‌ها را ۱-۳/۵ کیلوبار نشان می‌دهد [۴۱] (شکل ۹ پ). به نظر همرستورم وزن [۳۰]، آمفیبیول‌های فشار بالا همواره آلومینیوم بالایی دارند و بیشتر آمفیبیول‌های غنی از آلومینیم در فشار بالا و یا دمای بالا یافت می‌شوند. این موارد برای آمفیبیول‌های بررسی شده نیز به خوبی در شکل ۹ ت مشخص است. همخوانی خوبی بین  $Al$  کل و  $Al^{IV}$  آمفیبیول‌های نمونه-های منطقه‌ی مورد بررسی وجود دارد.

بے اور د دما

چنان که بیان شد، آمفیبیول اغلب برای برآورده دما و فشار تبلور مانگما به کار برده می‌شود. دو شرط لازم برای زمین دماسنجی بر پایه آمفیبیول این است که آمفیبیول باید برآمده از فعالیت مانگماهی باشد و همچنین با پلازیوکلаз همزیست بوده و در تعادل باشد. در این پژوهش، دمای تبلور مانگما با روش جفت کانی آمفیبیول-پلازیوکلاز [۴۳] و روش مرجع [۴۵] برآورد شد. روش است که طی روند جداش مانگماهی در دمای بالاتر، مقدار  $\text{SiO}_2$  در آمفیبیول افزایش و  $\text{Al}_2\text{O}_3$  کاهش می‌یابد. در برآورده دما به روش جفت کانی‌های آمفیبیول-پلازیوکلاز [۴۳]، داده‌های تجزیه ریزپردازشی الکترونی برای ترکیب-های Si-Na-Al-Ca در جفت کانی‌های آمفیبیول-پلازیوکلاز همزیست در توده نفوذی تکیه با هم در دمای تبلور نزدیک به ۱۰۰۰ درجه سانتیگراد، به کار برده شدند. برای این منظور، آمفیبیول‌های هم مرز با بلورهای پلازیوکلاز انتخاب شدند [۴۶.۴۰].

بر این اساس، لگاریتم گریزندگی اکسیژن برای نمونه‌های مورد بررسی  $-18.6$  تا  $-14.9$  بدست آمد.

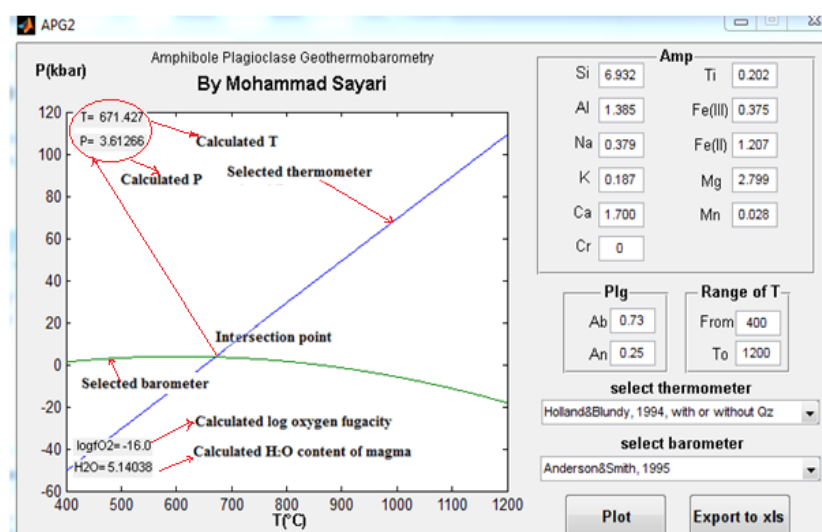
چنانکه در شکل ۱۱ دیده می‌شود، به طور کلی گریزندگی اکسیژن برای تشکیل آمفیبول‌ها بالا بوده و حضور آمفیبول بیانگر آبدار بودن ماقم است.

شده اولیه در سنگ‌های میزبان نیز نشانه‌ای از اکسایشی بودن ماقمی سازنده آنهاست [۵۱، ۴۰]. برای تعیین گریزندگی  $\text{Fe}/(\text{Fe}+\text{Mg})$  از نمودار- $\text{Al}^{(\text{IV})}$  [۴۱] استفاده شد (شکل ۱۱)، برای محاسبه گریزندگی اکسیژن از رابطه زیر استفاده شد [۵۲]:

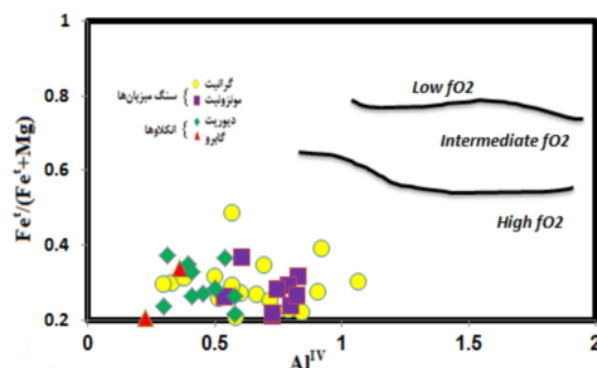
$$\log f\text{O}_2 = -30930/T + 14.98 + 0.142 (\text{P}-1)/T \quad (5)$$

جدول ۶ نتایج محاسبه دما و فشار توده نفوذی تکیه به روش‌های مختلف.

روش	فشار (کیلوبار)			
برپایه مقدار آلومینیوم در هورنبلند	Min Enclaves	Max Enclaves	Min Host rock	Max Host rock
Hammerstrom & Zen, 1986	۰.۶	۱.۰	۰.۳۴	۲.۵
Hollister et al., 1987	۰.۲۶	۰.۸۲	۰.۳	۳.۱
Johnson & Rutherford, 1989	۰.۲۱	۱.۰۴	۰.۳	۲.۴
Schmidt, 1992	۰.۲۴	۱.۱۶	۱.۵۶	۳.۶
Anderson & Smith 1995	۰.۲۲	۱.۰۳	۱.۲۱	۳.۶۲
دما (سانتیگراد)				
Sayari, 2011	۵۸۶	۷۲۶	۵۷۵	۷۲۴
Holland & Blundy 1994	۵۹۲	۷۴۲	۵۵۴	۶۶۰



شکل ۱۰ روش محاسبه فشار و دما برای سنگ میزبان گرانیتی با استفاده از نرم افزار APG [۴۷].



شکل ۱۱ نمودار برآورد گریزندگی اکسیژن بر پایه ترکیب آمفیبول [۴۱] که نشان دهنده گریزندگی  $\text{O}_2$  بالا هنگام تبلور آمفیبول در توده نفوذی تکیه (جنوب قزوون) است.

- igneous geobarometer: Aluminium in hornblende at 10 kbar pressure", Geology 17 (1989) 897-900.*
- [2] Stein E., Dietl C., "Hornblende thermobarometry of granitoids from the Central Odenwald (Germany) and their implications for the geotectonic development of the Odenwald", Mineralogy and Petrology, 72 (2001) 185-207.
- [3] Uchida E., Endo S., Makino M., "Relationship between solidification depth of granitic rocks and formation of hydrothermal ore deposits", Resource Geology 57 (2007) 47-56.
- [4] Anderson J.L., Barth A.P., Wooden J.L., Mazdab F., "Thermometers and thermobarometers in granitic systems", Reviews in Mineralogy and Geochemistry 69 (2008) 121-42.
- [5] Hossain I., Tsunogae T., Rajesh H.M., "Geothermobarometry and fluid inclusions of dioritic rocks in Bangladesh: Implications for emplacement depth and exhumation rate", Journal of Asian Earth Sciences 34 (2009) 731-9.
- [6] Torkian A., Khalili M., and Sepahi A.A., "Petrology and geochemistry of the I-type calc-alkaline Qorveh Granitoid Complex, Sanandaj-Sirjan Zone", western Iran. Neues Jahrbuch fur Mineralogie-Abhandlungen 185 (2008) 131-142.
- [7] Letterrier J., "Mineralogical, geochemical and isotopic evolution of two Miocene mafic intrusions from the Zagros (Iran)", Lithos 18 (1985) 311-329.
- [8] Azizi H., Zajefili Beiranvand M., and Asahara Y., "Zircon U-Pb ages and petrogenesis of a tonalite-trochitic-granodiorite (TTG) complex in the northern Sanandaj-Sirjan Zone", northwest Iran: Evidence for Late Jurassic arc-continent collision. Lithos 216 (2015) 178-195.
- [9] Azizi H., Najari M., Asahara Y., Catlos E.J., Shimizu M., and Yamamoto K., "U-Pb zircon ages and geochemistry of Kangareh and Taghiabad mafic bodies in northern Sanandaj-Sirjan Zone, Iran: Evidence for intra-oceanic arc and back-arc tectonic regime in Late Jurassic", Tectonophysics 660 (2015) 47-64.
- [10] Mahmoudi S., Corfu F., Masoudi F., Mehrabi B., and Mohajjel M., "U-Pb dating and emplacement history of granitoid plutons in the northern Sanandaj-Sirjan Zone", Iran. Journal of Asian Earth Sciences 41 (2011) 238-249.
- [11] Stocklin J., "Structural history and tectonics of Iran; A review ", American Association of Petroleum Geologists Bulletin, 52 (7) (1968) 1229-1258.
- [12] Hosseini M., "Description of geological mag 1/100000 Qorveh square", Geological survey of Iran, (1997).

### برداشت

بر پایه بررسی شیمی کانی‌های آمفیبول و پلازیوکلаз در توده نفوذی تکیه، نتایج زیر به دست آمد:

- همه آمفیبول‌ها در نمونه‌های سنگ میزان و برونبو姆 توده نفوذی تکیه در پی فرایندهای آذرین متبلور شده‌اند و در گروه آمفیبول‌های کلسیمی و زیرگروه منیزیوهرونبلند و اکتینولیت قرار دارند.
- این آمفیبول‌ها در گستره پیدایش آمفیبول‌های وابسته به پهنه‌های فروزانش هستند.
- فشارهای به دست آمده برای نمونه‌های سنگی برونبو姆 و سنگ میزان توده نفوذی تکیه به ترتیب ۱۸-۲۱ و ۳۶۲-۴۰ کیلوبار است. این فشارها با ژرفای کمتر از ۱۵ کیلومتر همخوانی دارد. گفتنی است که نتایج به دست آمده از روش‌های متفاوت فشارسنجی آمفیبول، همخوانی خوبی با هم دارند.
- مقدار پایین فشار محاسبه شده برای برونبوهم‌های دیوریتی می‌تواند ناشی از عواملی چون کم بودن مقدار  $\text{Al}_2\text{O}_3$  (دلیلی بر فشار کم و بالا بودن گریزندگی اکسیژن در برونبوهم‌های دیوریتی)، وجود بافتی چون میان دانه‌ای در برونبوهم‌های دیوریتی (که خود دلیلی بر تشکیل این برونبوهم‌ها در عمق کم و فشار پایین است) و وجود دگرسانی در برونبوهم دیوریتی باشد. سپر اساس روش‌های دماسنجی به کار رفته، دمای تبلور آمفیبول برای برونبوهم ۵۹۲-۷۴۲ و برای سنگ‌های میزان ۵۵۴-۶۶۰ درجه سانتیگراد است.

- با آنکه نتایج روش‌های گوناگون دماسنجی آمفیبول در توده نفوذی تکیه کمابیش مشابه هستند، اما به دلیل اثر فشار در محاسبات، همچنان گمان می‌رود که داده‌های روش جفت کانی آمفیبول-پلازیوکلاز منطقی‌تر باشد.

داده‌های به دست آمده از برآورد گریزندگی اکسیژن توده نفوذی تکیه نشان دهنده بالا بودن گریزندگی اکسیژن در ماقمای سازنده‌ی این سنگ‌هاست.

### قدردانی

نویسنده‌گان از مسئولین بخش آزمایشگاهی دانشگاه ارسطوتسالونیکی (یونان) و نیز از سردبیر، مدیران داخلی و داوران محترم مجله‌ی بلورشناسی و کانی‌شناسی ایران سپاسگزاری می‌نمایند.

### مراجع

- [1] Rutter M.J., Van der Laan S.R., Wyllie P.J., "Experimental data for a proposed empirical

- decompression", American Mineralogist 77 (1992) 1242-1279.*
- [23] Bottinga Y., Kudo A., Weil D., "Some observation of oscillatory zoning and crystallization of magmatic plagioclase", American Mineralogist 51 (1966) 292-806.
- [24] Bateman R., "The interplay between crystallization, replenishment and hybridization in large felsic magma chambers", Earth Science Reviews 39 (1995) 91-106.
- [25] Pearce T.H., Kolinsnick A.M., "Observation of plagioclase zoning using interference imaging", Earth Science Reviews 2 (1990) 9-26.
- [26] Loomis T.P., Welber P.W., "Crystallization processes in the compositional zoning of plagioclase", Contribution Mineralogy and Petrology 81 (1982) 230-239.
- [27] Coltorti M., Bonadiman C., Faccini B., Gregoire M., O'Reilly S.Y., Powell W., "Amphiboles from suprasubduction and intraplate lithospheric mantle", Lithos 99 (2007) 68-84.
- [28] Molina J., Scarrow J., Montero P.G., Bea F., "High-Ti amphibole as a petrogenetic indicator of magma chemistry: evidence for mildly alkali-hybrid melts during evolution of Variscan basic-ultrabasic magmatism of Central Iberia", Contribution to Mineralogy and Petrology 158 (2009) 69-98.
- [29] Jiang C.Y., An S.Y., "On chemical characteristics of calcic amohiboles from igneous rocks and their petrogenesis significance", Journal of Mineralogy and Petrology 3 (1984) 1-9.
- [30] Hammarstrom J.M., Zen E., "Aluminum in hornblende: An empirical igneous geobarometer American Mineralogist", 71 (1986) 1297-1313.
- [31] Simakin A., Zakrevskaya O., and Salova T., "Novel Amphibole Geo-barometer with Application to Mafic Xenoliths", Earth Science Research 1 (2012) 82-97.
- [32] Castro A., Moreno-Ventas I., Fernandez C., Vujovich G., Gallastegui G., Heredia N., Martino R. D., Becchio R., Corretge L. G., Diaz-Alvarado J., Such P., Garcia-Arias M., and Liu D-Y., "Petrology and SHRIMP U-Pb zircon geochronology of Cordilleran granitoids of the Bariloche area, Argentina", Journal of South American Earth Sciences 32 (2011) 508-530.
- [33] Bhattacharya S., Panigrahi M.K., and Jayananda M., "Mineral thermobarometry and fluid inclusion studies on the Closepet granite, Eastern Dharwar Craton, south India: Implications to emplacement and evolution of late-
- [13] Didier J., "The main types of enclaves in the Hercynian granitoids of the Massif Central, France. In: Enclaves and Granite Petrology", (Eds. Didier J., and Barbarin B.) Developments in Petrology. 13 (1991) 47-61. Elsevier, Amsterdam..
- [14] Zorpi M. J., Coulon C., Orisini J.B., and Concirta C., "Magma mingling, zoning and emplacement in calc-alkaline granitoid plutons", Tectonophysics 157 (4) (1989) 315-326.
- [15] Shelley D., "Igneous and Metamorphic Rocks under the Microscope, Classification, textures, microstructures and mineral preferred orientation", (1992).
- [16] Leake B.E., Woolley A.R., Birch W.D., Burke E.A.J., Ferraris G., Grice J.D., Hawthorne F.C., Kisch H.J., Krivovichev V.G., Schumacher J.C., Stephenson N.C.N., and Whittaker E.J.W., "Nomenclature of amphiboles: Additions and revisions to the International Mineralogical Association's amphibole nomenclature", American Mineralogist 89 (2004) 883-887.
- [17] Frank C., Hawthorne R.O., George E.H., Walter V.M., Robert F.M., John C.S., Mark D. W., "IMA Report Nomenclature of the amphibole supergroup", American Mineralogist 97 (2012) 2031-2048.
- [18] Sial A.N., Ferreira V.P., Fallick A.E., Jeronimo M., Cruz M., "Amphibole-rich clots in calc-alkalic granitoids in the Borborema province northeastern Brazil", Journal of South American Earth Science 11 (1998) 457-471.
- [19] Leake B.E., Woolley A.R., Arps C.E.S., Birch W.D., Gilbert M.C., Grice J.D., Hawthorne F.C., Kato A., Kisch H.J., Krivovichev V.G., Linthout K., Laird J., Mandarino J., Maresch W.V., Nickel E.H., Rock N.M.S., Schmucher J.C., Smith D.C., Stephenson N.C.N., Unungaretti L., Whittaker E.J.W., Youzhi G., "Nomenclature of Amphiboles. Report of the Subcommittee on Amphibols of the International Mineralogical Association Commission on New Minerals Names", European of Mineralogy 9 (1997) 623-651.
- [20] Deer W.A., Howie R.A., and Zussman J., "An introduction to the Rock-Forming Minerals", 2<sup>nd</sup> edition, Longman, London. (1966).
- [21] Agemar T., Worner G., Heumann A., "Stable isotopes and amphibole chemistry on hydrothermally altered granitoids in the North Chilean Precordillera: a limited role for meteoric water", Contribution to Mineralogy and Petrology 136 (1999) 331-344.
- [22] Nelson S.T., Montana A., "Sieve-texture plagioclase in volcanic rocks production by rapid

- barometer", American Mineralogist 80 (1995) 549-559.*
- [42] Hammarstrom J.M., Zen E., "Aluminum in hornblende: An empirical igneous geobarometer. American Mineralogist", 71 (1986) 1297-1313.
- [43] Blundy J.D., and Holland T.J.B., "Calcic amphibole equilibria and a new amphibole-plagioclase geothermometer", Contributions to Mineralogy and Petrology 104 (1990) 208-224.
- [44] Ghent E.D., Nicholls J., Siminy P.S., Sevigny H.H., and Stout M.Z., "Hornblende Geobarometry of the Nelson Batholith, Southeastern British Columbia: Tectonic Implications", Canadian Journal of Earth Science 28 (1991) 1982-1991.
- [45] Sayari M., "An Efficient Software Program for Amp-Pl Thermobarometry Based on Graphical Method", Journal of Sciences Islamic Republic of Iran 22 (4) (2011) 345-349.
- [46] Blundy J., and Cashman K., "Petrologic reconstruction of magmatic system variables and processes", Reviews in Mineralogy and Geochemistry 69 (2008) 179-239.
- [47] Ewart A., "A review of the mineralogy and chemistry of tertiary recent dacitic, latitic, rhyolitic and related salic volcanic rocks, In: Fred, B. (Ed), Trondhjemites, dacites, and related rocks", (1979).
- [48] Behrens H., Gaillard F., "Geochemical aspects of melts: volatiles and redox behavior", Elements 2 (2006) 275-280.
- [49] Scaillet B., Evans B.W., "The 15 June 1991 eruption of Mount Pinatubo. I. Phase equilibria and preeruption P-T- $f_{\text{O}_2}$ - $f_{\text{H}_2\text{O}}$  conditions of the dacite magma", Journal of Petrology 40 (1999) 381-411.
- [50] Wones D.R., "Mafic minerals as indicators of intensive variables in granitic magmas", Mineral Geology 31 (1981) 19-122.
- [51] Enami M., Suzuki K., Liou J.G., and Bird D.K., "Al-Fe<sup>+3</sup> and F-OH substitutions in titanite and constrains on their P-T dependence", European Journal of Mineralogy 5 (1993) 231-291.
- [52] Wones D.R., "Significance of the assemblage titanite + magnetite + quartz in granitic rocks", American Mineralogist 74 (1989) 744-749.
- stage fluid", Journal of Asian Earth Science 91 (2014) 1-18.*
- [34] Hernandez-Pineda G.A., Solari L.A., Gomez-Tuena A., Mendez-Cardenas D.L., and Perez-Arvizu O., "Petrogenesis and thermobarometry of the 50 Ma rapakivi granite-syenite Acapulco intrusive: Implications for post-Laramide magmatism in southern Mexico", Geosphere 7 (2011) 1419-1438.
- [35] Martinez Dopico C.I., Lopez de Luchi M.G., Wemmer K., and Rapalini A.E., "Composicion quimica de biotita y hornblenda y edades de enfriamiento como indicadores de las condiciones de emplazamiento del complejo plutonico La Esperanza (Permico Superior)", Macizo Norpatagonico. Revista de la Asociacion Geologica Argentina 70 (2013) 3-15.
- [36] Sarjoughian F., Kananian A., Lentz D.R., and Ahmadian J., "Nature and physicochemical conditions of crystallization in the South Dehgolan intrusion, NW Iran: mineral-chemical evidence", Turkish Journal of Earth Sciences 24 (2015) 249-275.
- [37] Toummite A., Ikenne M., Beraaouz E.H., "Geothermobarometry of Askaoun Pluton in Ouzellahr-Sirwa Promontory (Central Anti-Atlas; Morocco)", Journal of Geology 2 (2012) 136-147.
- [38] Hollister L.S., Grissom G.C., Peters E.K., Stowell H.H., and Sisson V.B., "Confirmation of the empirical correlation of Al in hornblende with pressure of solification of calc-alkaline plutons", American Mineralogist 72 (1987) 231-239.
- [39] Helmy H.M., Ahmed A.F., EI Mahallawi M.M., and Ali S.M., "Pressure, temperature and oxygen fugacity conditions of calc-alkaline granitoids, Eastern Desert of Egypt, and tectonic implications", Journal of African Earth Sciences 38 (2004) 255-268.
- [40] Hynes A., "A comparison of amphiboles from medium and low pressure metabasites", Contributions of Mineralogy and Petrology 81 (1982) 119-125.
- [41] Anderson J.L., Smith D.R., "The effects of temperature and  $f_{\text{O}_2}$  on the Al in hornblende